



Vztah mezi extremitou atmosférické cirkulace, srážek a povodní

RNDr. Miloslav Müller, Ph.D.
Ústav fyziky atmosféry, Akademie věd České republiky
Univerzita Karlova v Praze, Přírodovědecká fakulta

Motivace

“Extreme events are generally easy to recognize but **difficult to define.**”

(Stephenson, 2008, p. 12)



<http://snehulakvparnemlete.wordpress.com/>

“When scanning peer-reviewed literature on weather extremes and its impacts, it is noticeable that many different methods are used to make inferences. However, discussions on these methods are rare. Such discussions are important since a particular **methodological choice might substantially influence the inferences** made. ”

(Visser and Petersen, 2012: Clim. Past, 8, 265–286)

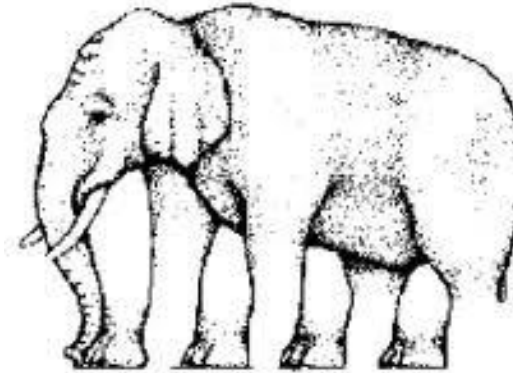
Osnova

- Extremita
- Extremita srážek
- Extremita povodní
- Extremita atmosférické cirkulace

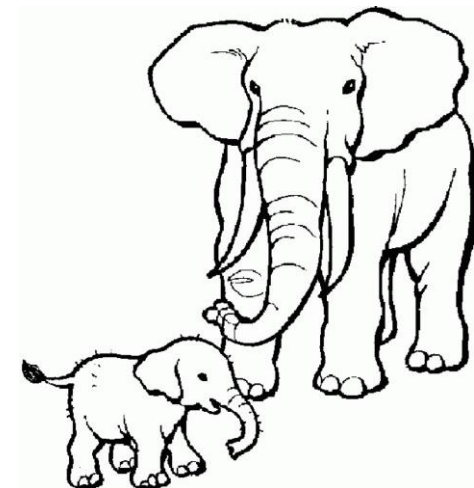


Extremity

Rarity



Intensity

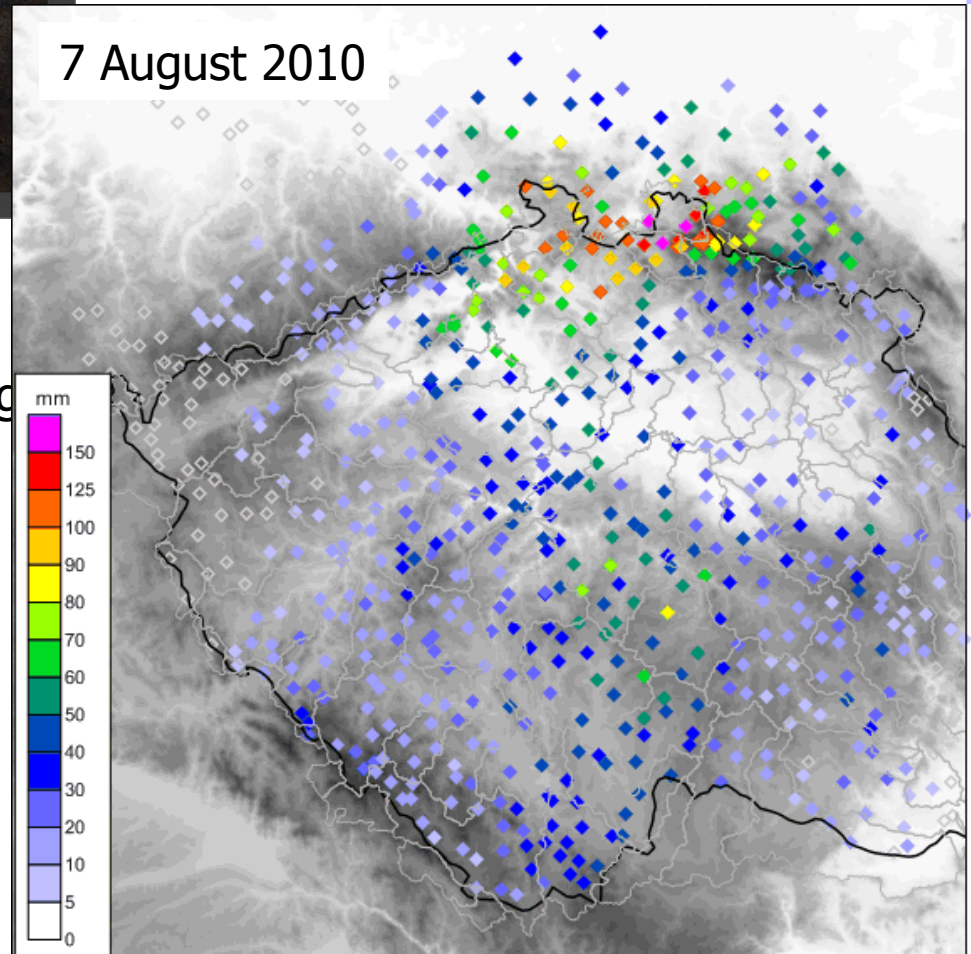


Severity



Aspects

Hejnice, 7 Aug

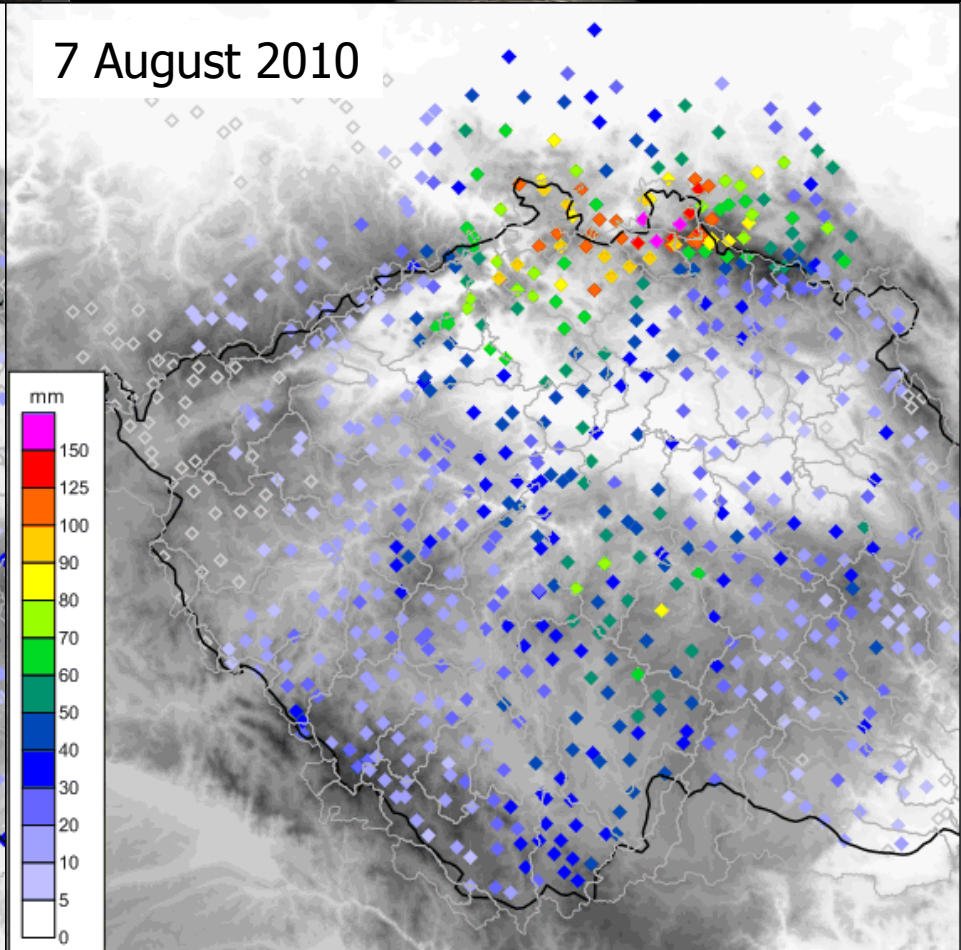
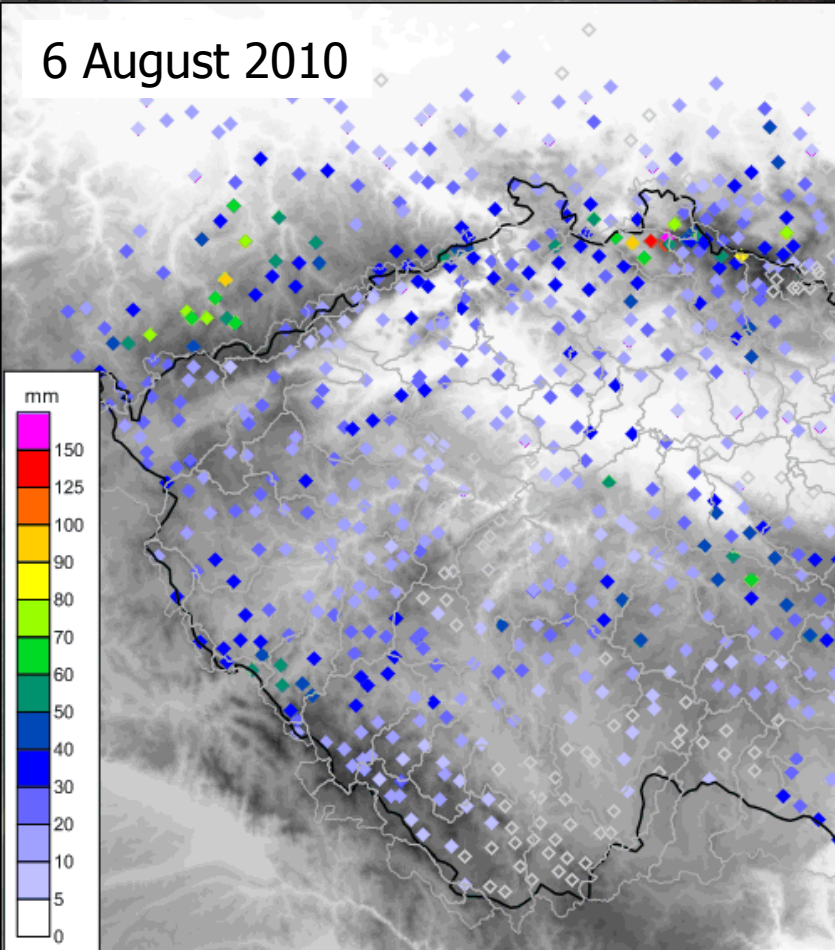




Duration

6 August 2010

7 August 2010

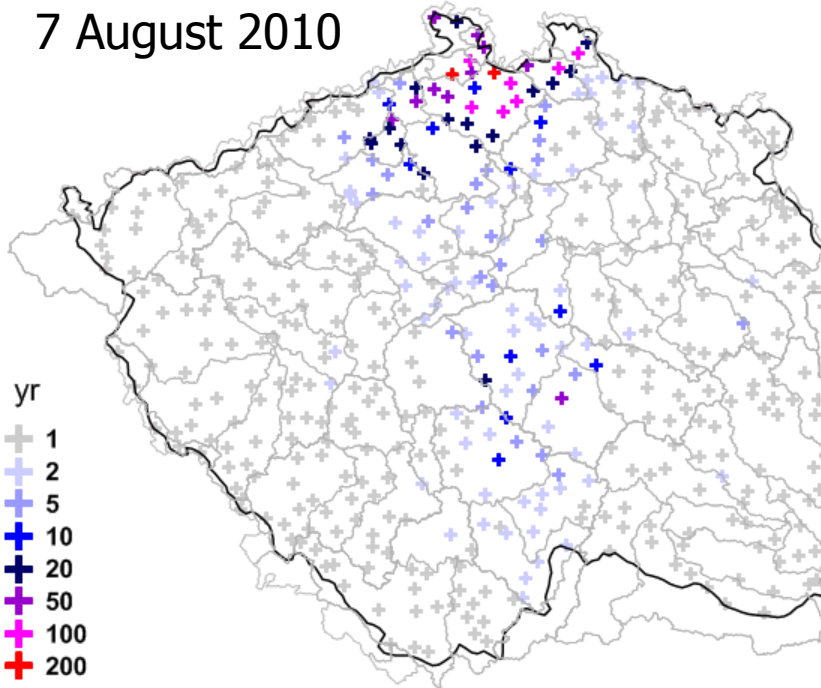


S
e
m
i
n
á
ř

Z
F
G

8
-
4
-
2
0
1
5

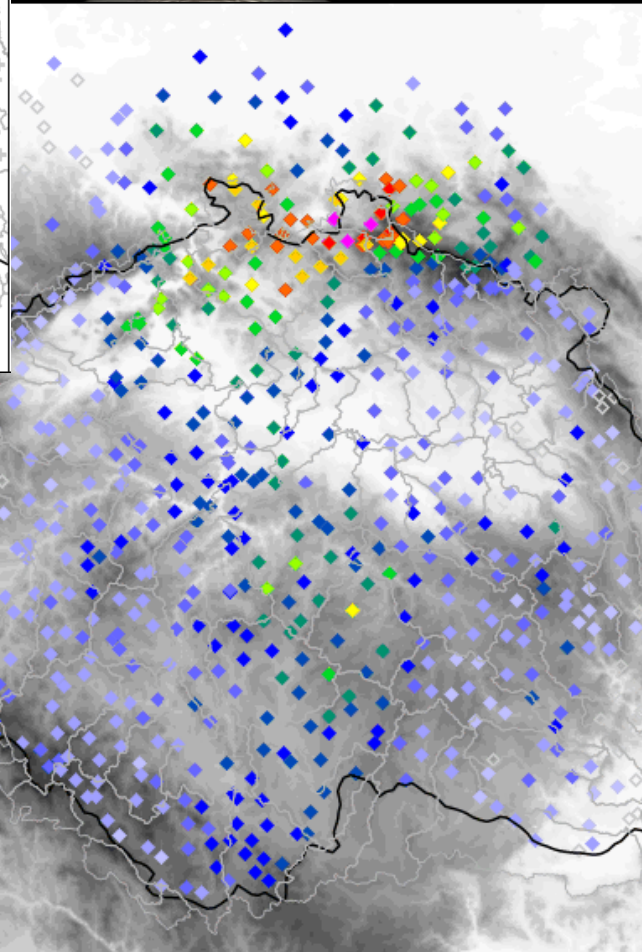
7 August 2010



Extent



Duration



Regionality

S
e
m
i
n
á
ř

Z

F

G

8

-

4

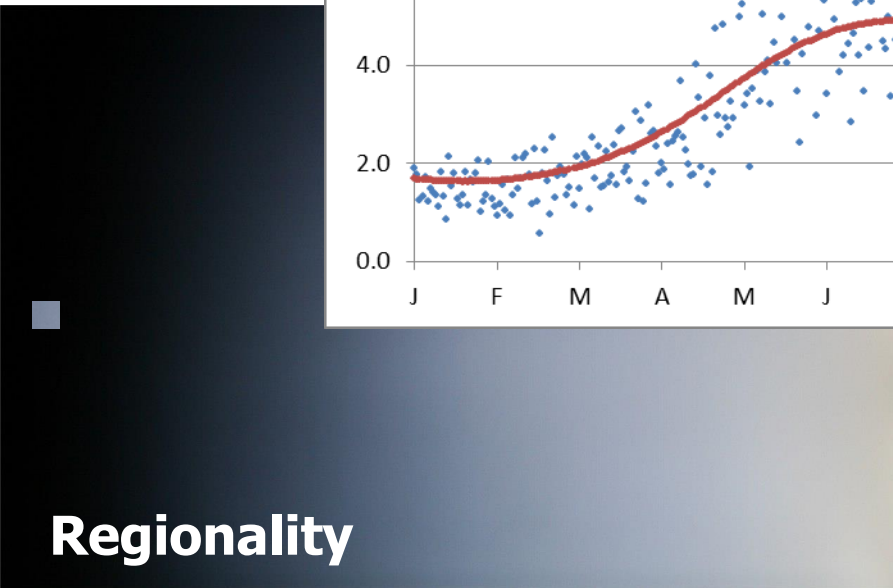
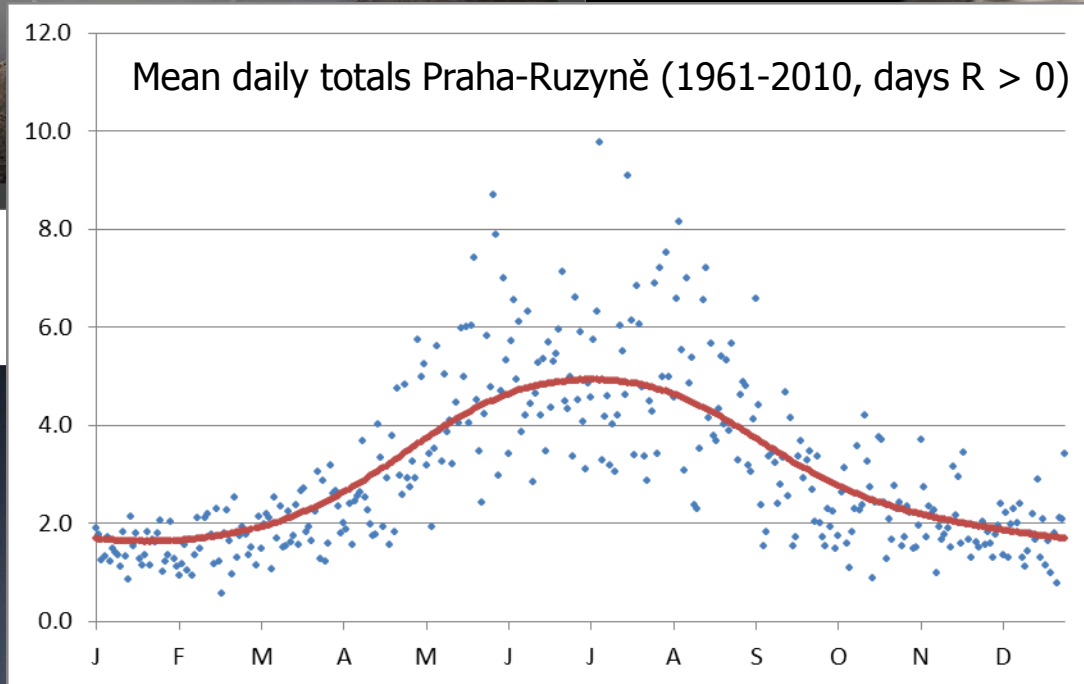
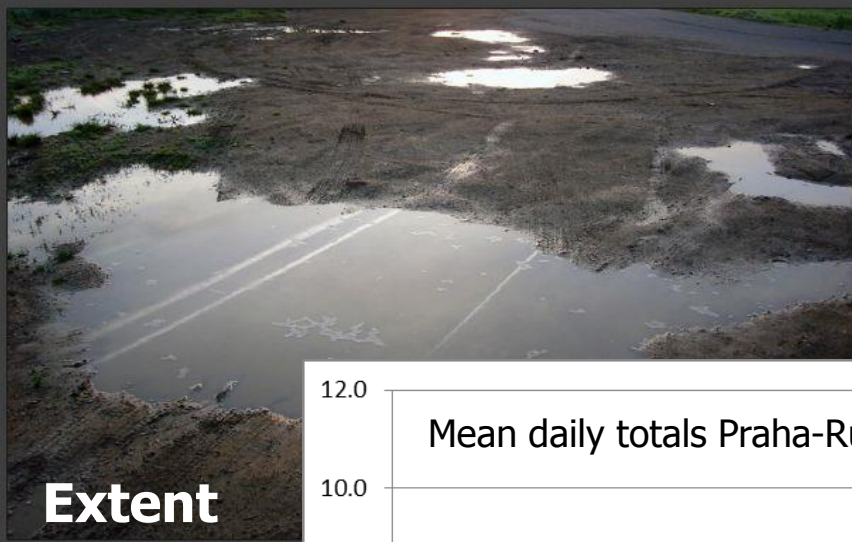
-

2

0

1

5



S
e
m
i
n
á
ř

z

F
G

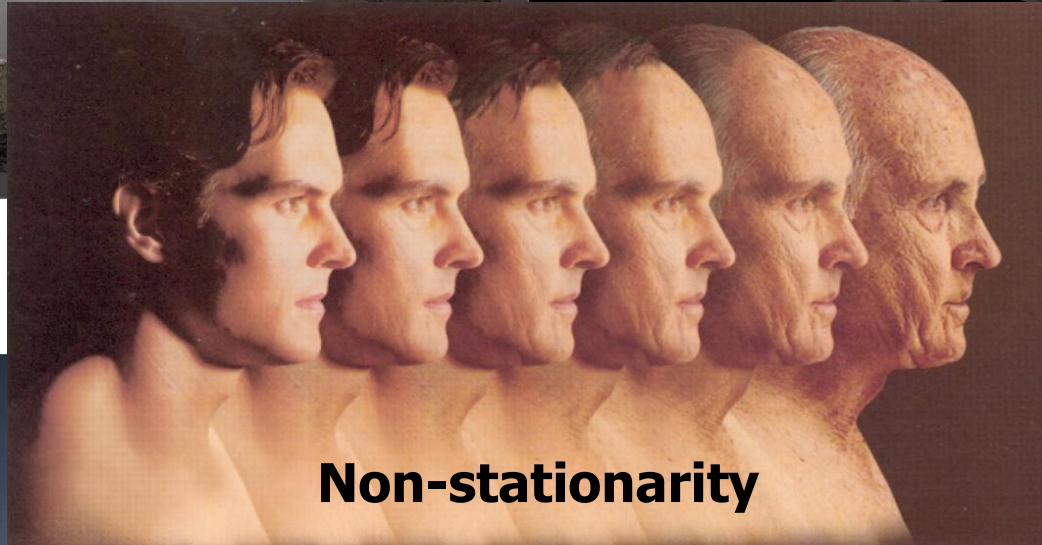
8
-
4
-
2
0
1
5



Extent



Duration



Non-stationarity

Seasonality



Regionality

S
e
m
i
n
á
ř

z

F
G

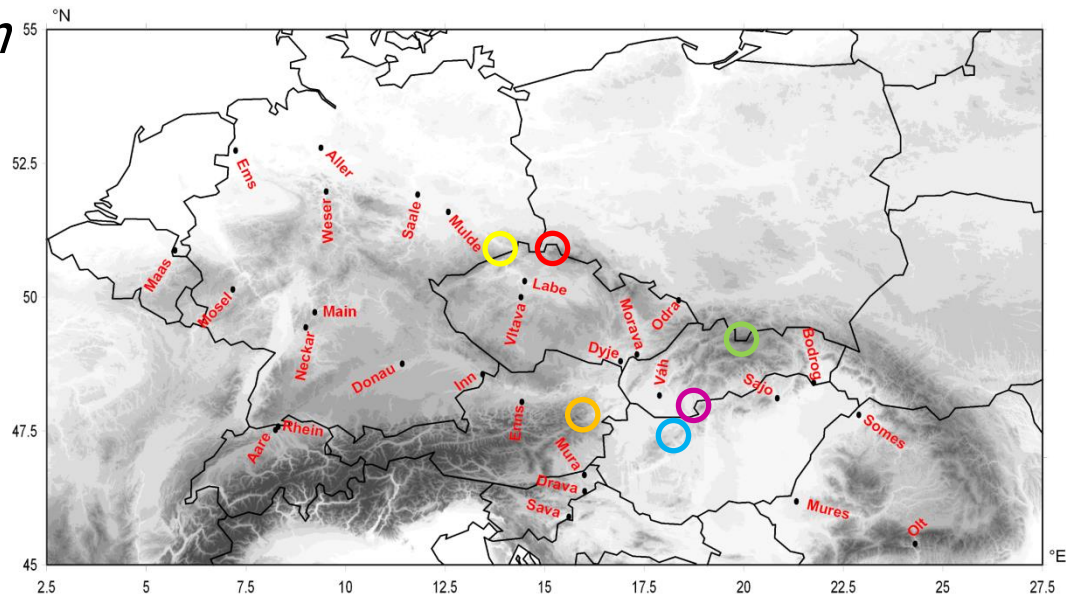
8
-
4
-
2
0
1
5



Extremita srážek

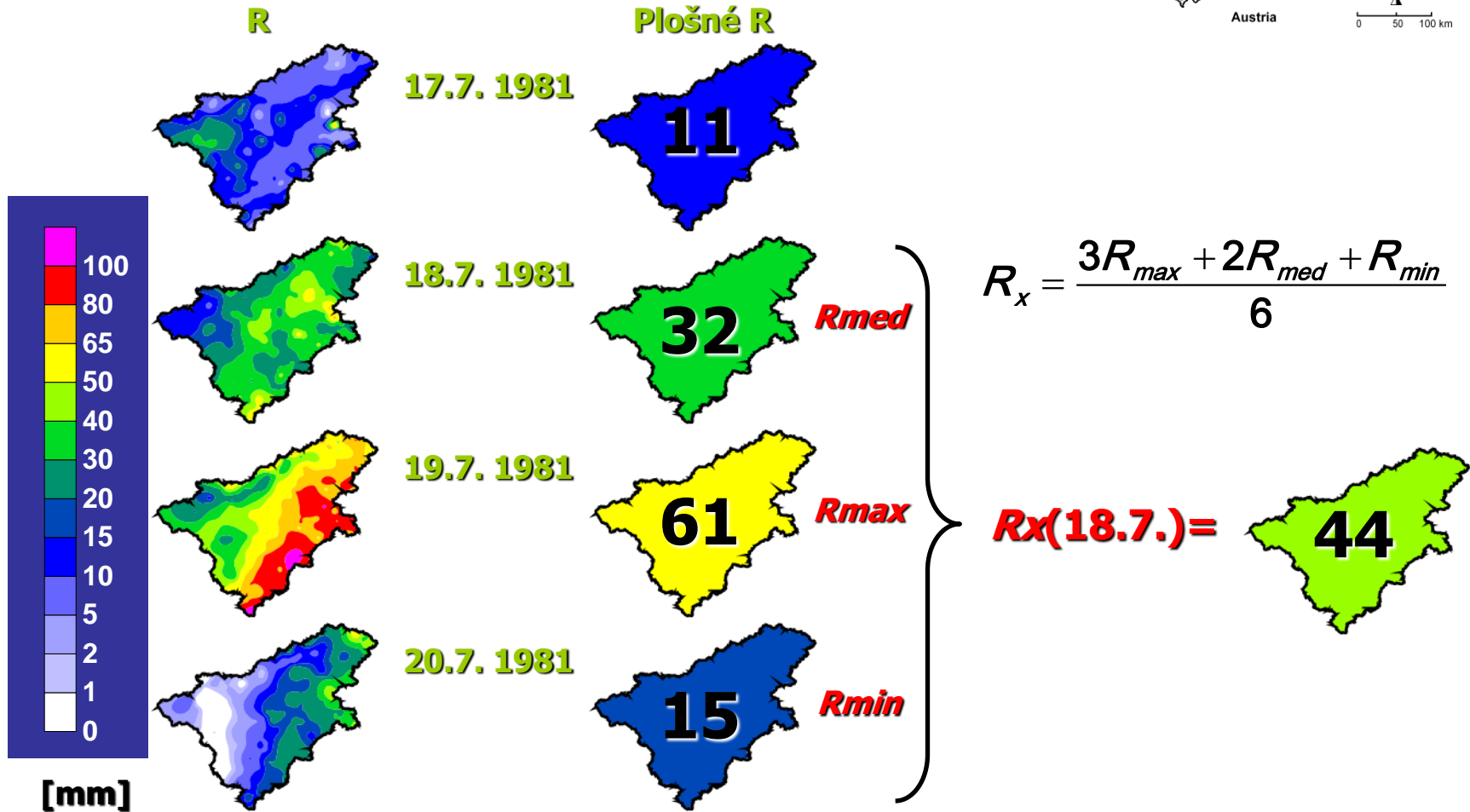
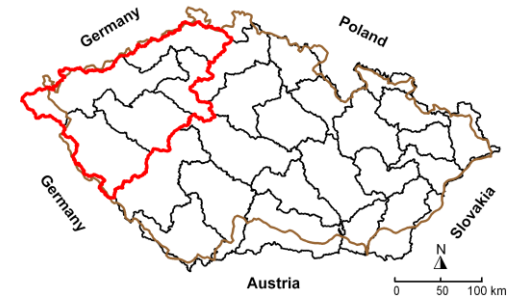
Extremita srážek: nejvyšší bodový denní úhrn

1. Czechia: 345.1 mm – Nová Louka, 29 July 1897
2. Austria: 323.2 mm – Semmering, 5 July 1947
3. Germany: 312.0 mm – Zinnwald-Georgenfeld, 12 August 2002
4. Poland: 300.0 mm – Hala Gasienicowa, 30 June 1973
5. Hungary: cca 260 mm – Dad, 9 June 1953
6. Slovakia: 231.9 mm – Salka, 12 July 1957

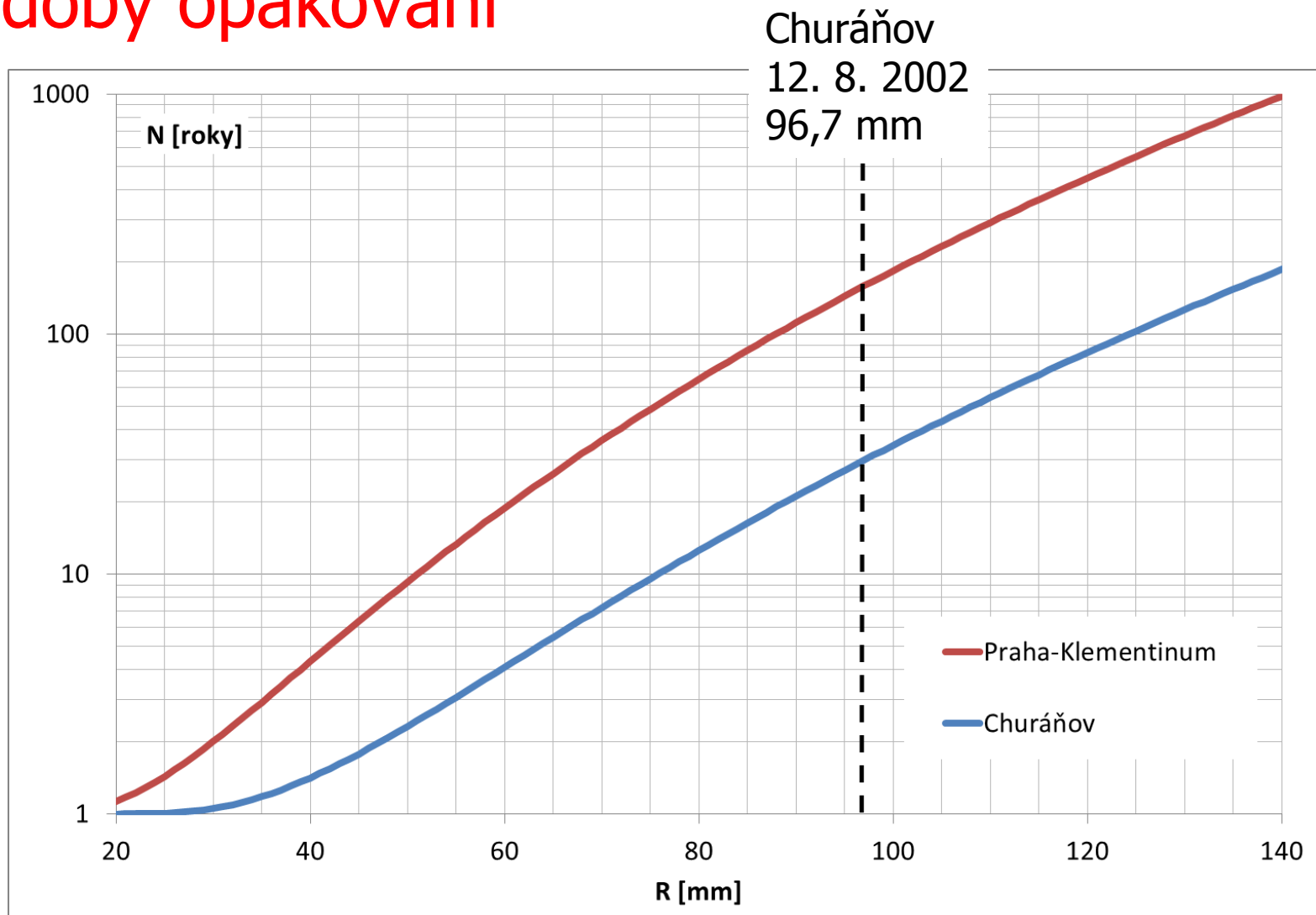


„EDÚS“

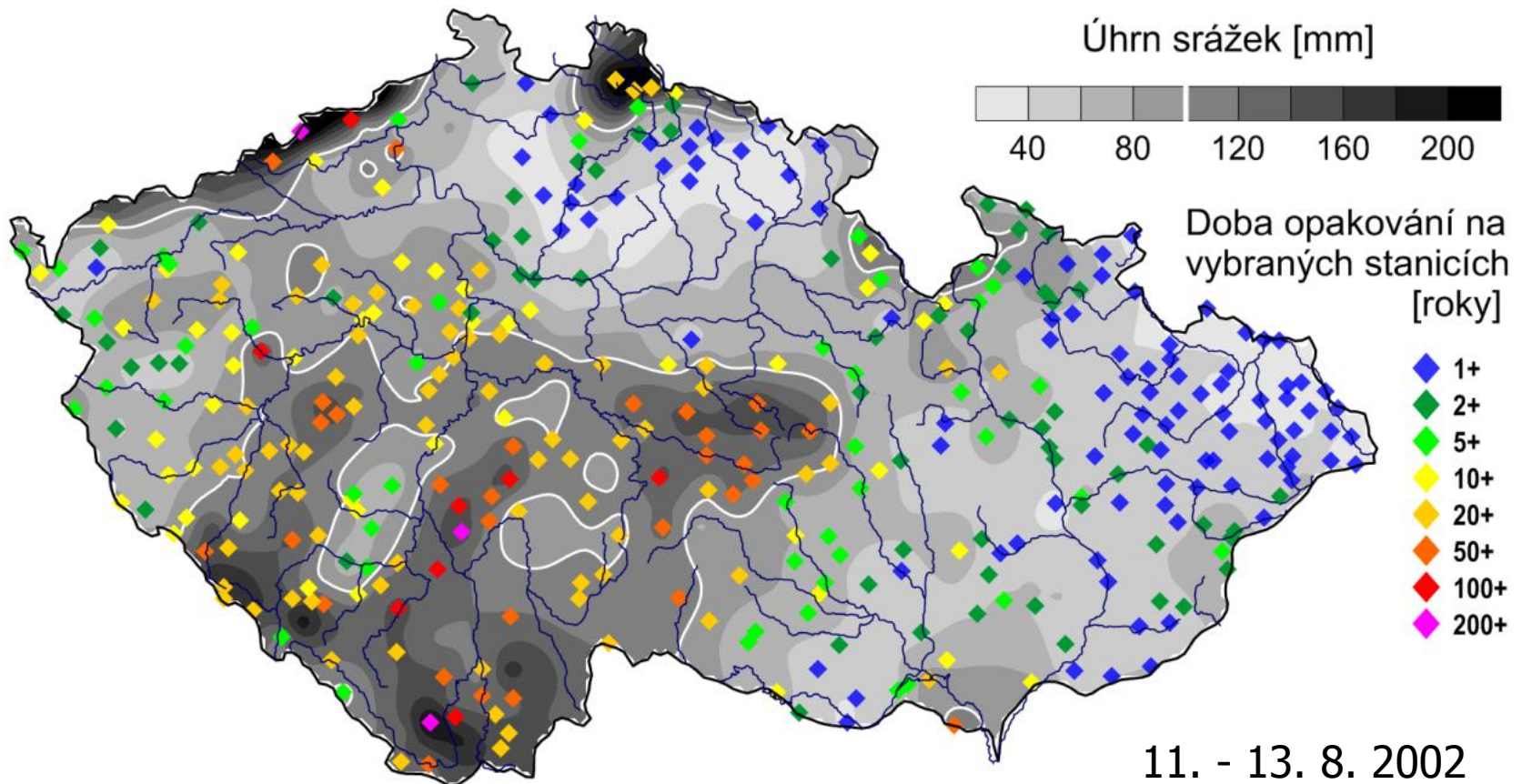
Extremita srážek: plošný průměr



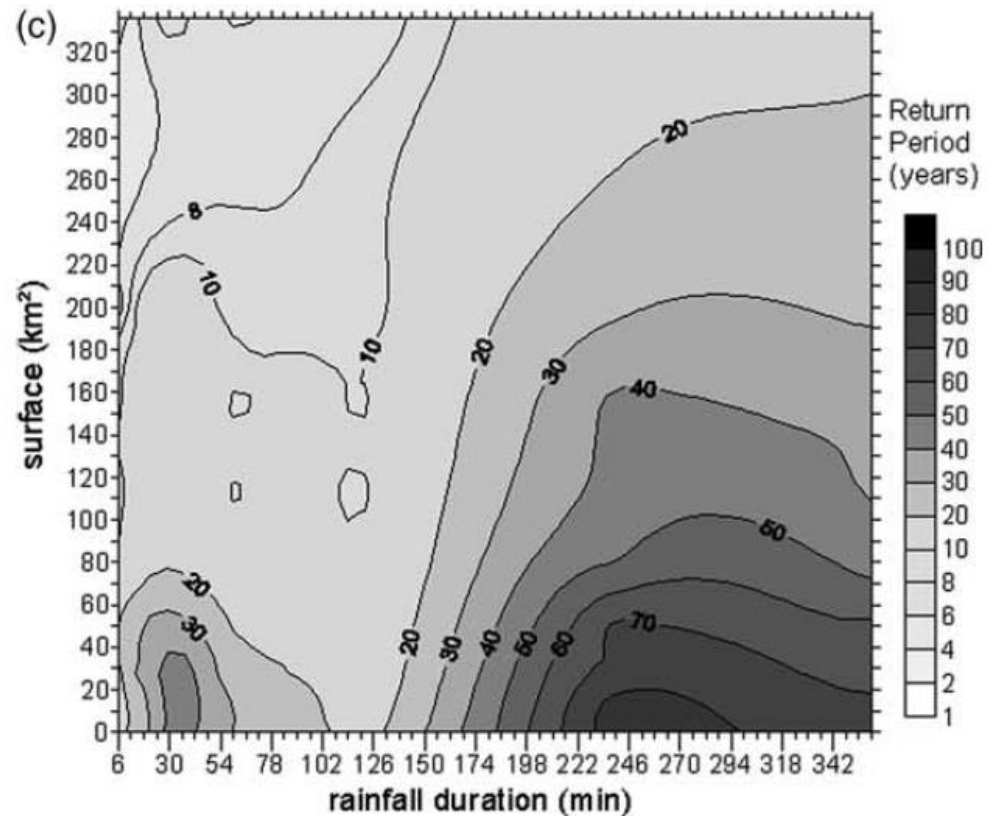
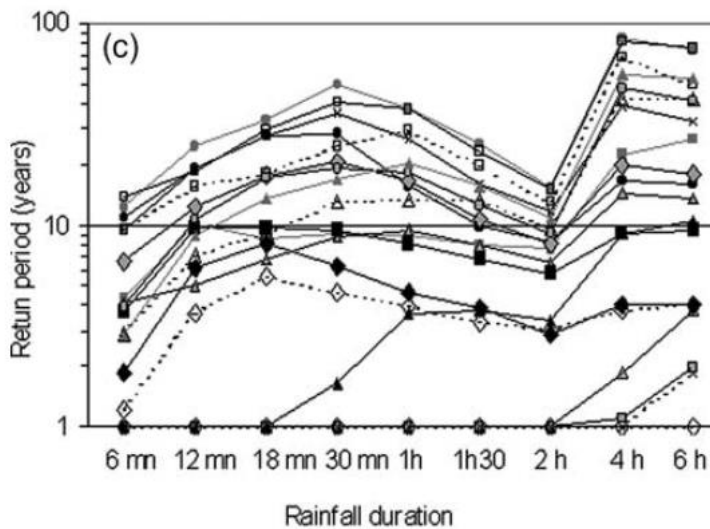
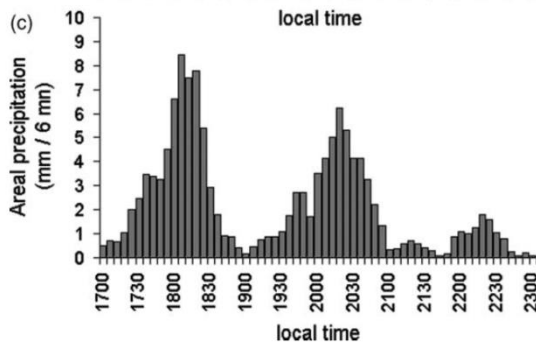
Extremita srážek: doby opakování



Extremita srážek: doby opakování

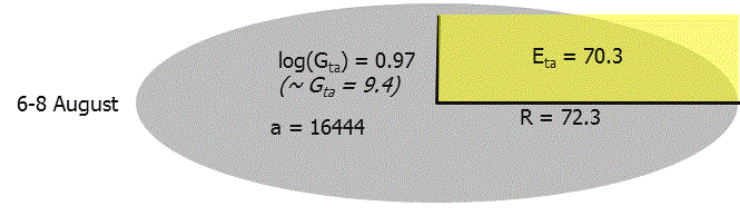
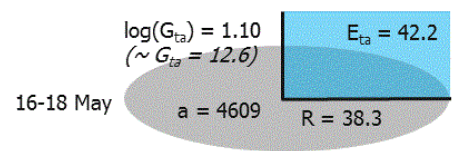
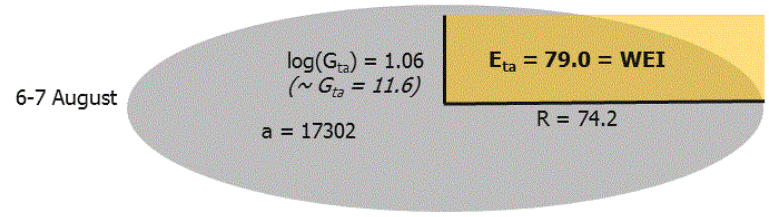
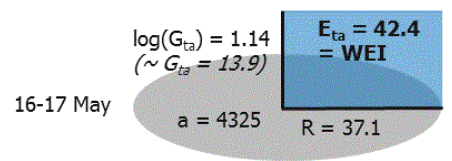
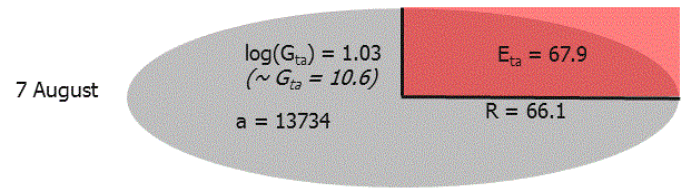
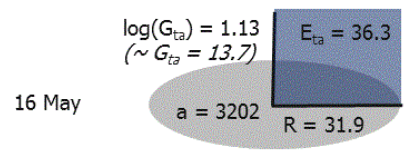


Extremita srážek: severity graphs and diagrams

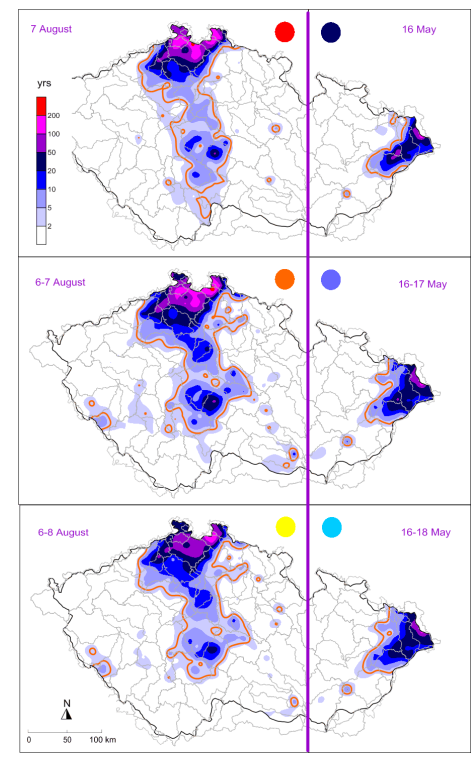


Extremita srážek: Weather Extremity Index

$$E_{ta} = \log(G_{ta})R = \frac{\sum_{i=1}^n \log(N_{ti})}{n} \frac{\sqrt{a}}{\sqrt{\pi}}$$

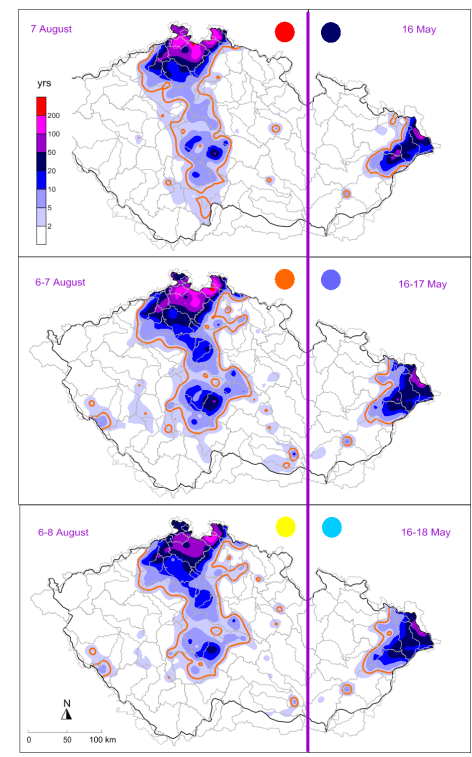
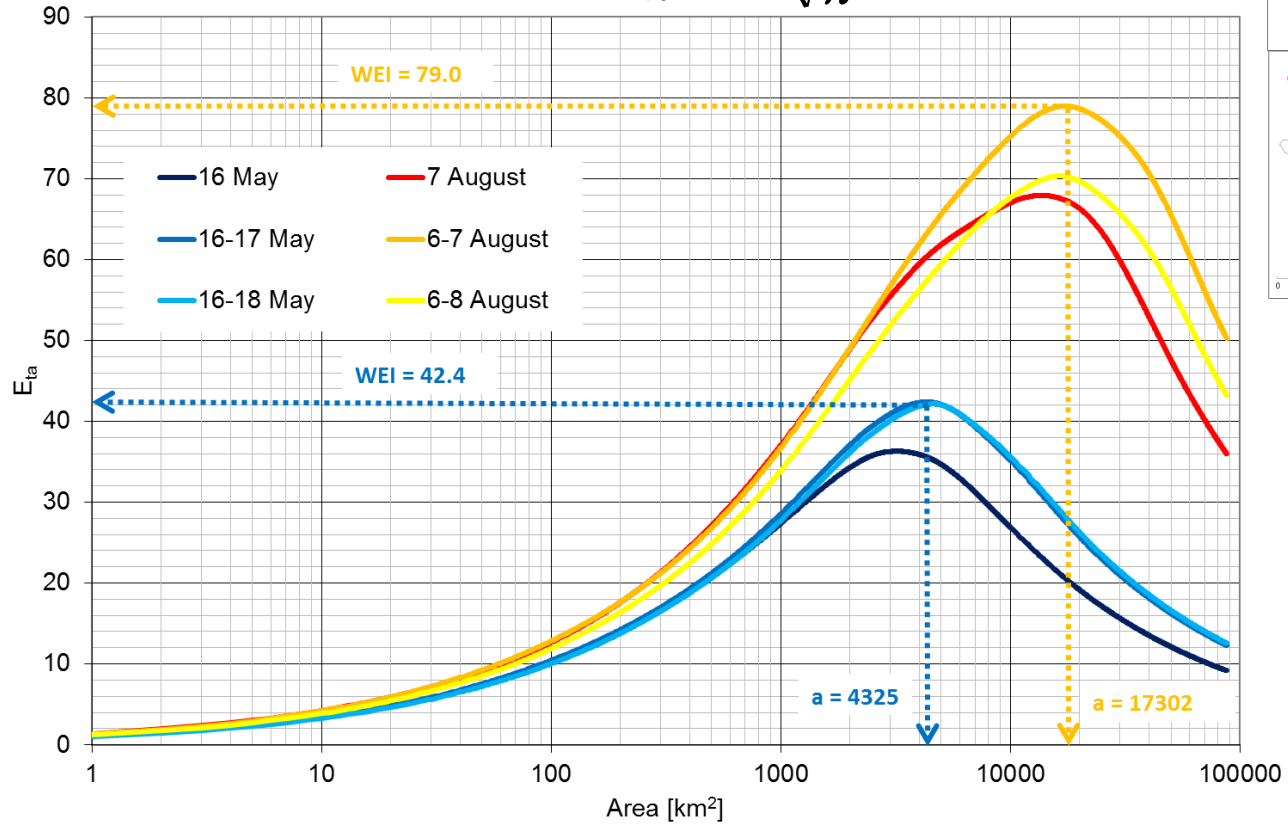


$WEI = \max(E_{ta})$



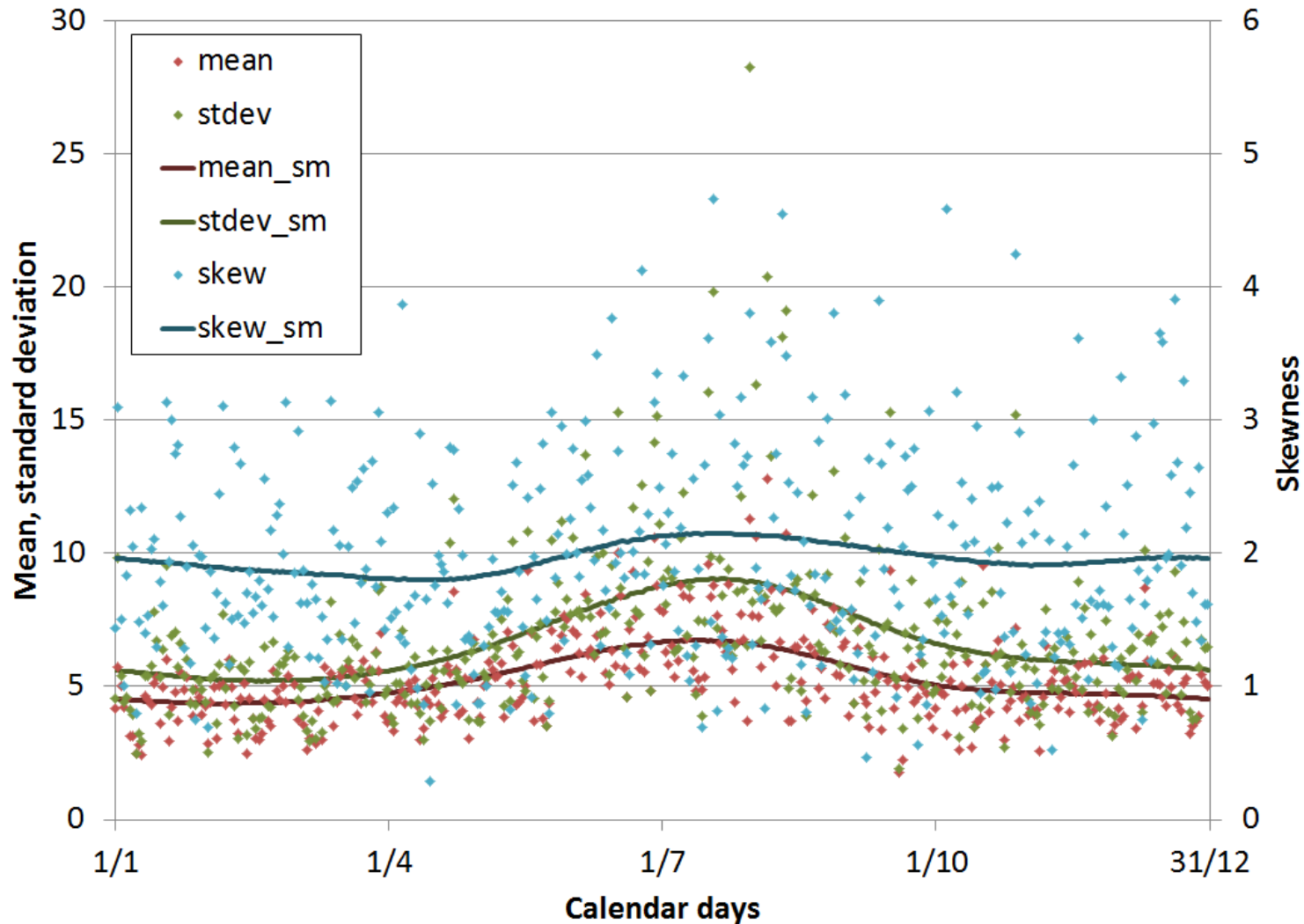
Extremita srážek: Weather Extremity Index

$$E_{ta} = \log(G_{ta})R = \frac{\sum_{i=1}^n \log(N_{ti})}{n} \frac{\sqrt{a}}{\sqrt{\pi}}$$



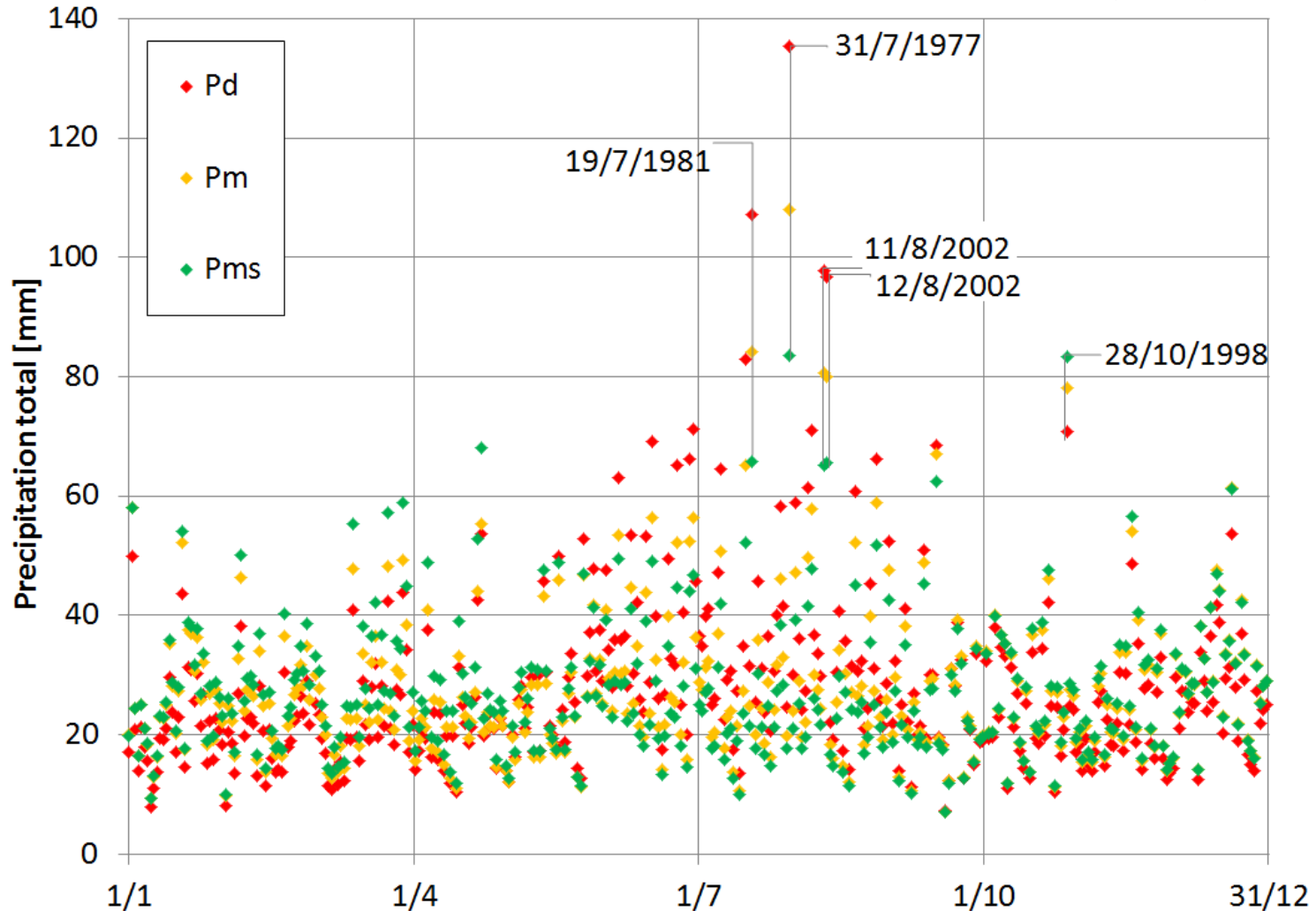
$$WEI = \max(E_{ta})$$

Abnormalita srážek



Abnormalita srážek

$$P_{ms} = \bar{P} \left(\frac{P_d}{\mu_{dG}} \right)^{\frac{\bar{\gamma}}{\gamma_{dG}}}$$



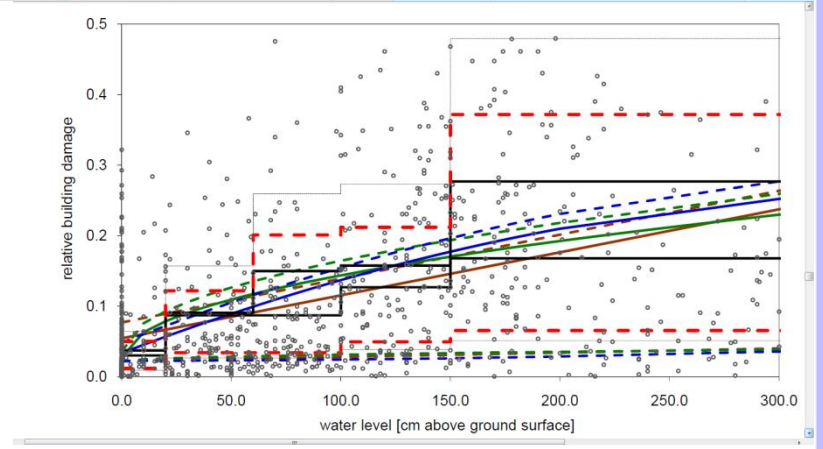


Extremita povodní

Extremity of floods: Severity

Barredo, 2007: Nat Hazards,
42, 125–148.

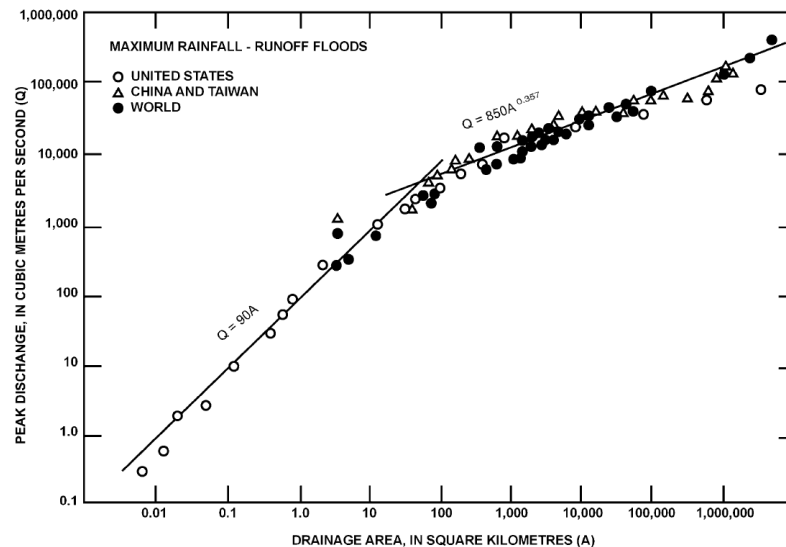
- EU + Bulgaria and Romania
- 1950 – 2005
- **70+ casualties or 0.005% of EU GDP**
- 23 flash floods + 21 river floods



Extremity of floods: Intensity

World Catalogue of Maximum Observed Floods.

- Rodier, J. A., Roche, M. J., 1984: IAHS Publ. no. 143.
- Herschy, R. (ed.), 2003: IAHS Publ. no. 284.



WORLD CATALOGUE
OF MAXIMUM OBSERVED
FLOODS

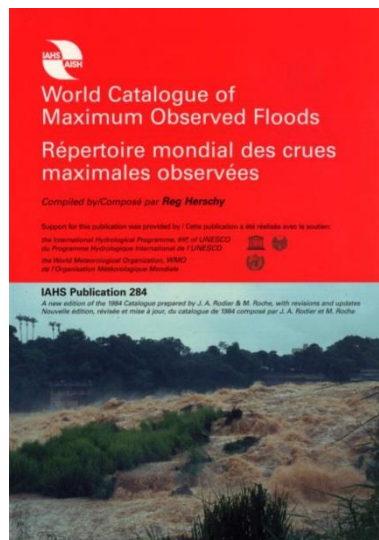
REPertoire MONDIAL
DES CRUES MAXIMALES
OBSERVEES

Prepared by
Mix au point par
J.A. RODIER & M. ROCHE
ORSTOM, 70-74 Route d'Anlay,
93148 Bondy, France

As a contribution to the International
Hydrological Programme of UNESCO
A titre de contribution au Programme
Hydrologique International de l'UNESCO

IHP - II Project A.2.7.2
PHI - II Project A.2.7.2

IAHS - AISH Publication No. 143



Francou index:

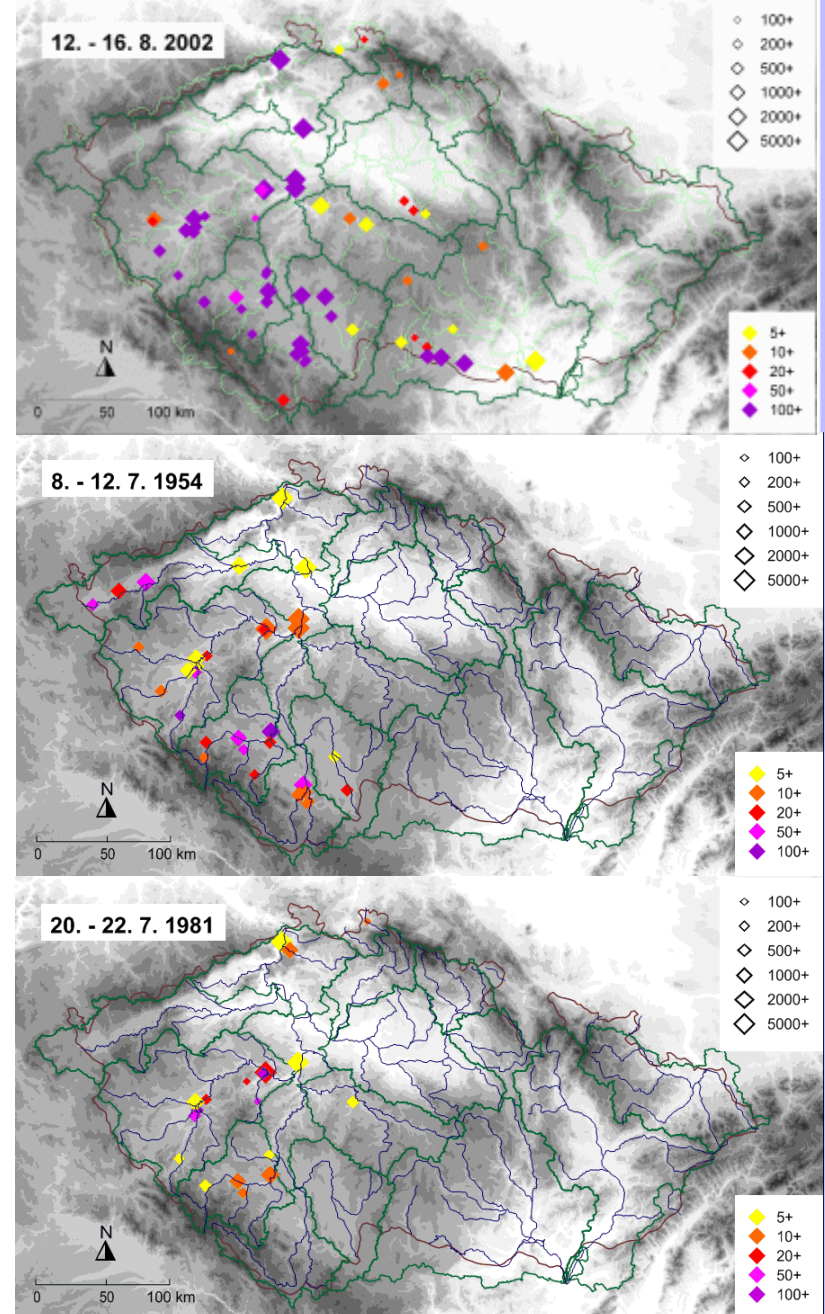
$$k = 10 \left(1 - \left[\log(Q) - 6 \right] / \left[\log(A) - 8 \right] \right)$$

Extremity of floods: Rarity

- Kvantily
- Doby opakování

	Q_{kulm} [m ³ s ⁻¹]	N [yrs]
VIII 2002	4770	100
IX 1890	4450	100
VI 2013	3740	20-50
VII 1954	3180	10
VII 1981	3170	10
V 1896	3100	10

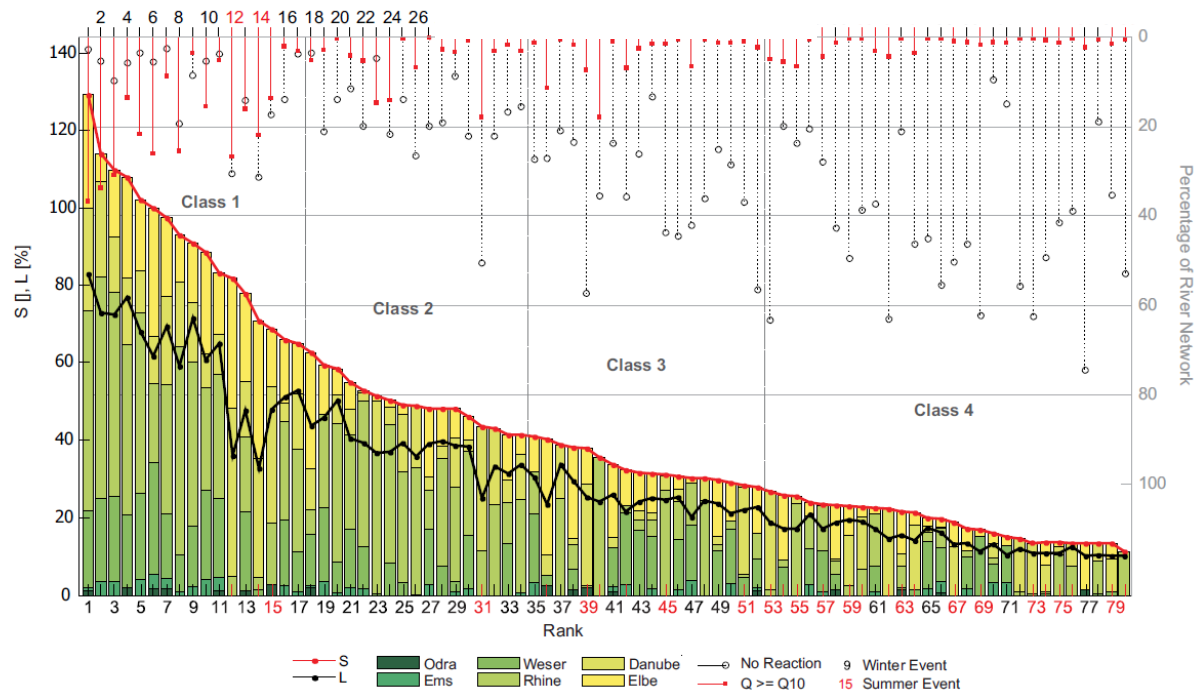
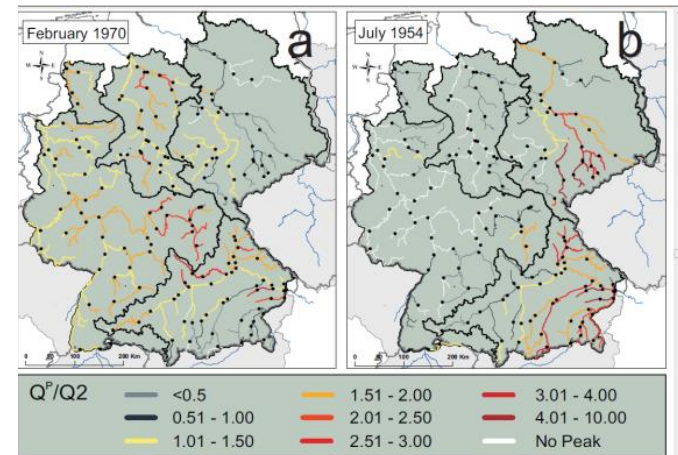
Labe (Elbe) in Děčín, MJJASO



Extremity of floods: Trans-basin floods

Uhlemann et al., 2010:
Hydrol. Earth Syst. Sci., 14, 1277–1295

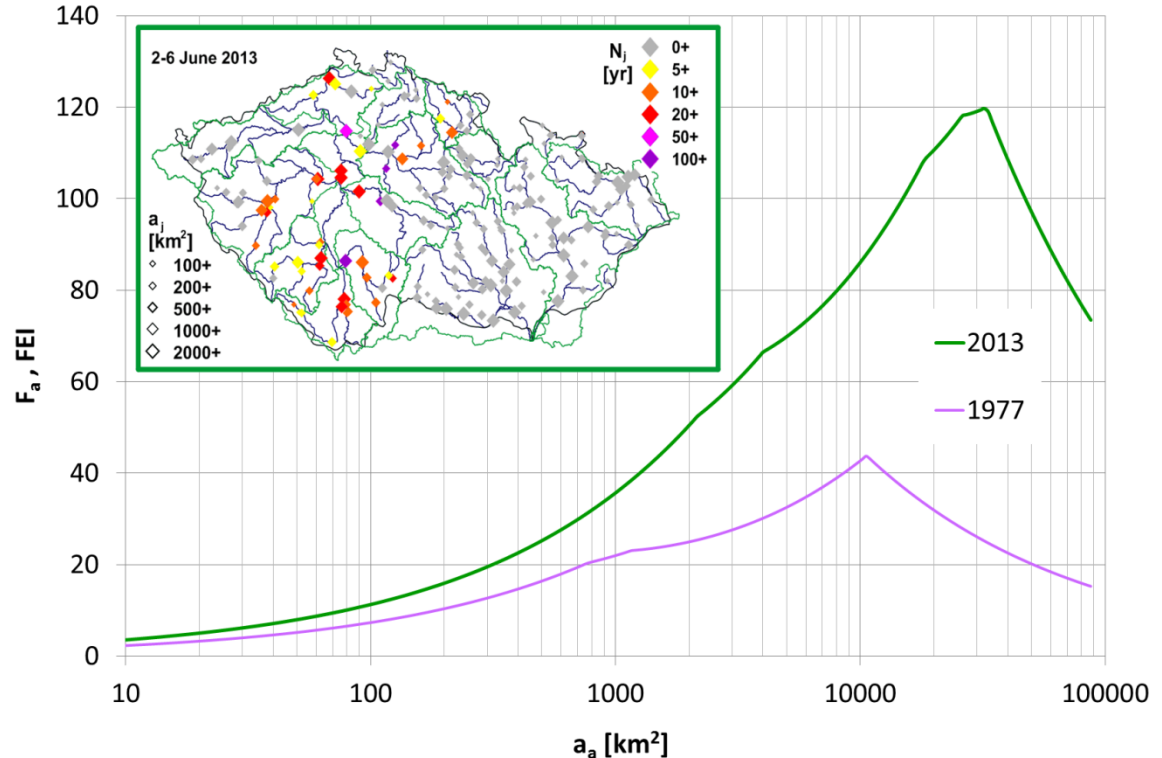
- Weighted cumulative discharge index



Extremity of floods: Flood Extremity Index (FEI)

$$F_a = \frac{\sum_{j=1}^h (\log(N_{ti}) a_j)}{a_a} \frac{\sqrt{a_a}}{\sqrt{\pi}}$$

$$FEI = \max(F_a)$$



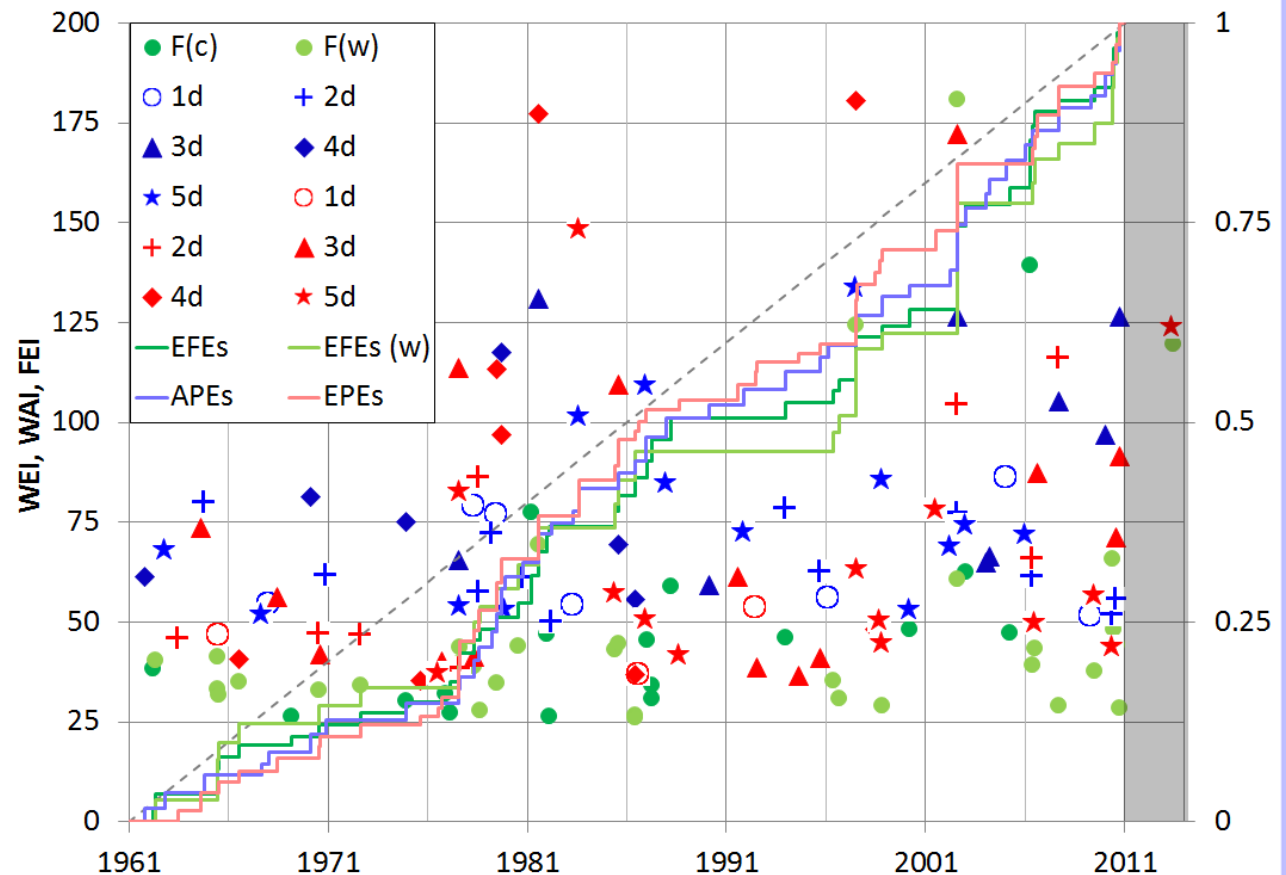


Vzájemný vztah povodní a srážek

EPEs						APEs					EFEs			
EPEs + APEs														
						APEs + EFEs								
EPEs + APEs + EFEs														
Rankings	First day [yyyy-mm-dd]	Duration [days]	WEI	Area [10 ³ km ²]	C _e [%]	First day [yyyy-mm-dd]	Duration [days]	WAI	Area [10 ³ km ²]	C _a [%]	First day [yyyy-mm-dd]	FEI	Area [10 ³ km ²]	
1	1997-07-04	4	180.6	37.9	69	1997-07-03	5	133.6	28.4	93	2002-08-12	180.9	35.8	
2	1981-07-17	4	177.1	45.0	39	1981-07-18	3	130.9	31.0	53	2006-03-28	139.4	48.2	
3	2002-08-11	3	172.3	55.2	105	2010-09-25	3	126.4	29.1	22	1997-07-07	124.3	20.2	
4	1983-08-01	5	148.3	39.6	8	2002-08-11	3	126.3	43.0	143	1981-03-10	77.5	19.5	
5	2007-09-05	2	116.0	35.5	25	1979-09-21	4	117.6	33.1	0	1981-07-20	69.4	16.7	
6	1977-07-31	3	113.5	44.2	35	1986-12-28	5	109.0	42.1	42	2010-05-17	65.9	7.6	
7	1979-06-15	4	113.4	33.1	31	2007-09-05	3	105.2	27.0	28	2002-12-30	62.4	18.5	
8	1985-08-06	4	109.3	35.6	41	1983-08-01	5	101.2	32.2	12	2002-08-07	60.8	9.1	
9	2002-08-06	2	104.2	20.7	58	2010-01-08	3	96.8	33.5	0	1988-03-26	59.0	16.9	
10	1979-09-21	4	97.0	37.9	0	2005-01-20	1	86.1	45.6	0	2010-06-02	48.2	8.2	
11	2010-09-25	3	91.6	31.4	31	1998-10-28	5	85.5	48.3	34	2000-03-09	48.1	6.7	
12	2006-08-05	3	87.3	34.6	21	1987-12-16	5	84.7	37.7	9	2005-03-17	47.3	11.1	
13	1978-08-07	2	86.2	26.0	32	1970-02-20	4	81.3	47.6	23	1982-01-06	47.0	9.9	
14	1977-08-18	5	82.5	53.3	53	1964-10-08	2	79.9	18.0	0	1993-12-21	46.0	5.9	
15	2001-07-16	5	78.0	38.1	11	1978-05-07	1	78.9	17.9	49	1986-12-30	45.5	10.4	
16	1964-08-08	3	73.6	18.2	22	1993-12-19	2	78.5	34.3	59	1985-08-07	44.7	8.3	
17	2010-08-05	3	71.2	22.3	62	2002-08-06	2	77.3	14.3	79	2010-08-07	44.2	4.9	
18	2006-05-26	2	65.7	17.6	60	1979-06-17	1	76.8	17.0	45	1980-07-21	43.9	6.2	
19	1997-07-17	5	63.0	43.8	31	1974-12-05	4	75.0	19.0	40	1977-08-22	43.8	10.6	
20	1991-07-31	3	61.2	30.8	22	2002-12-29	5	74.3	42.4	84	2006-06-30	43.3	4.0	
21	1985-05-17	5	57.1	9.9	75	1991-11-16	5	72.3	32.4	0	1985-05-20	43.0	5.9	
22	2009-06-22	5	56.5	14.8	67	1979-03-29	2	72.1	17.8	0	1965-06-05	41.3	5.7	
23	1968-06-08	3	56.2	16.1	28	2005-12-30	5	71.8	17.6	0	1962-05-14	40.5	7.4	
24	1992-06-23	1	53.5	10.5	8	1985-08-06	4	69.3	27.6	64	1977-08-01	39.6	5.1	
25	1986-12-28	5	50.6	19.2	90	2002-03-19	5	68.9	19.0	23	2006-05-27	39.3	5.8	

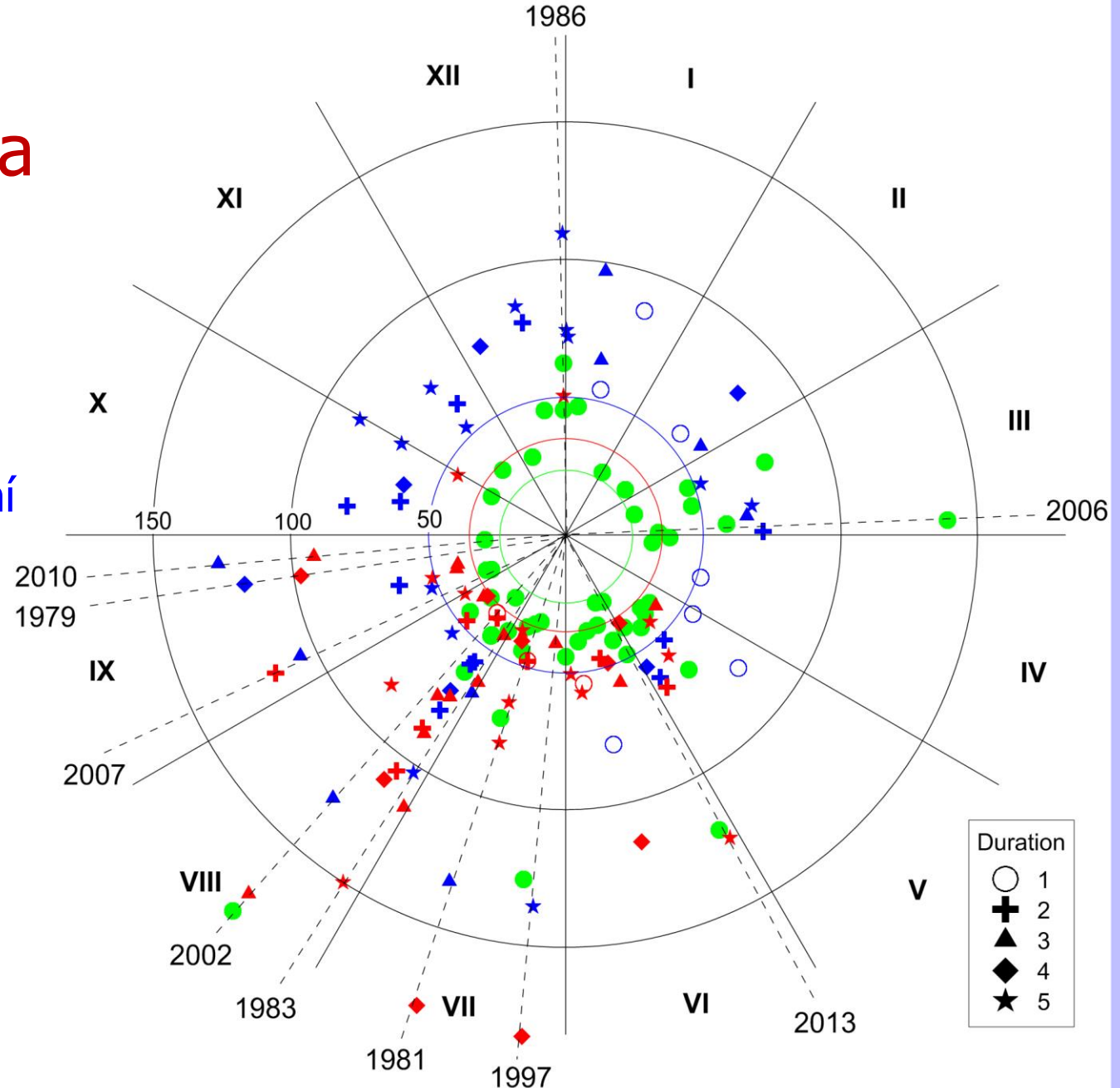
Meziroční variabilita

- Extrémní srážky
- Abnormální srážky
- Extrémní povodně



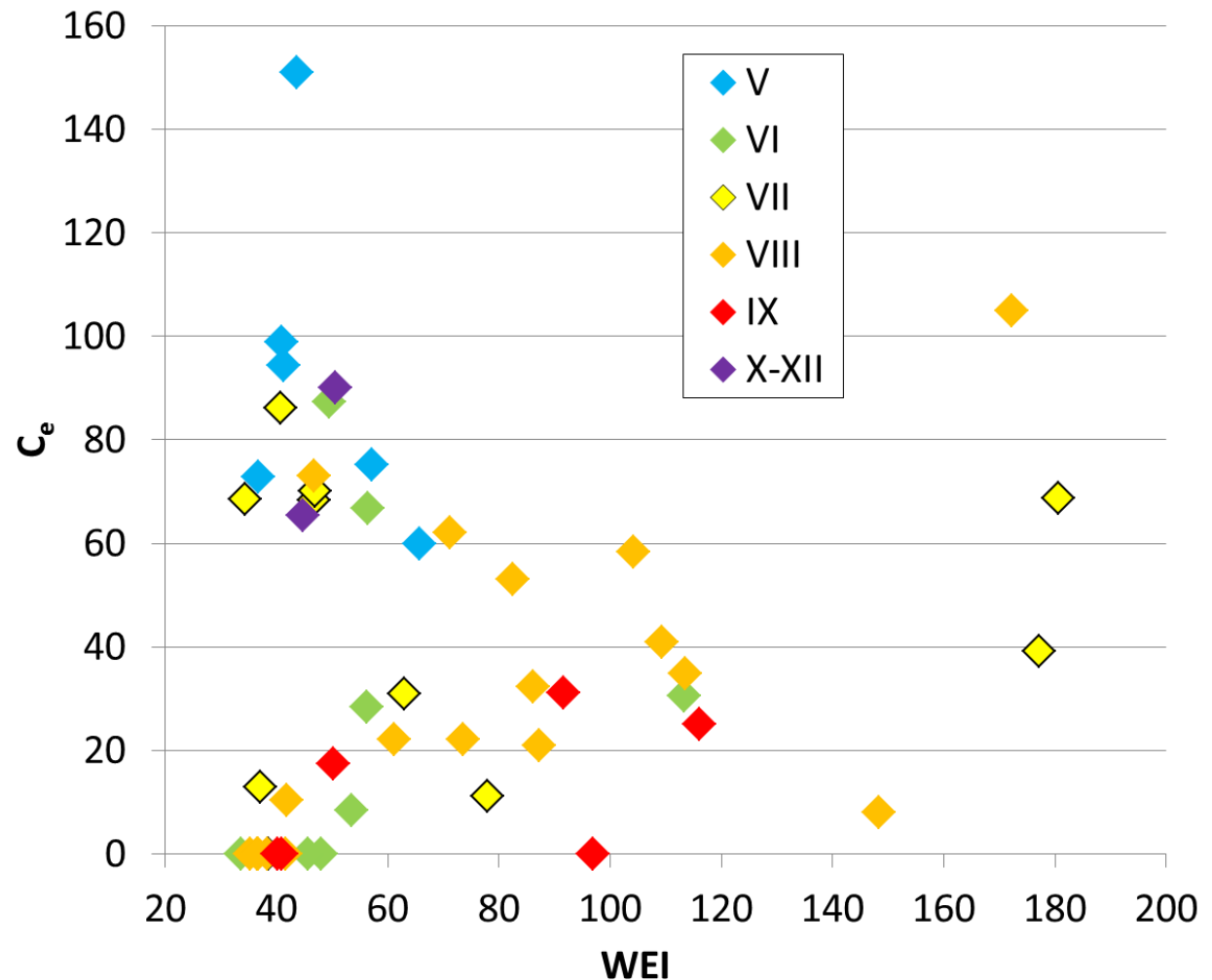
Sezonalita

- Povodně
- Extrémní srážky
- (Abnormální srážky)



Míra hydrologické odezvy

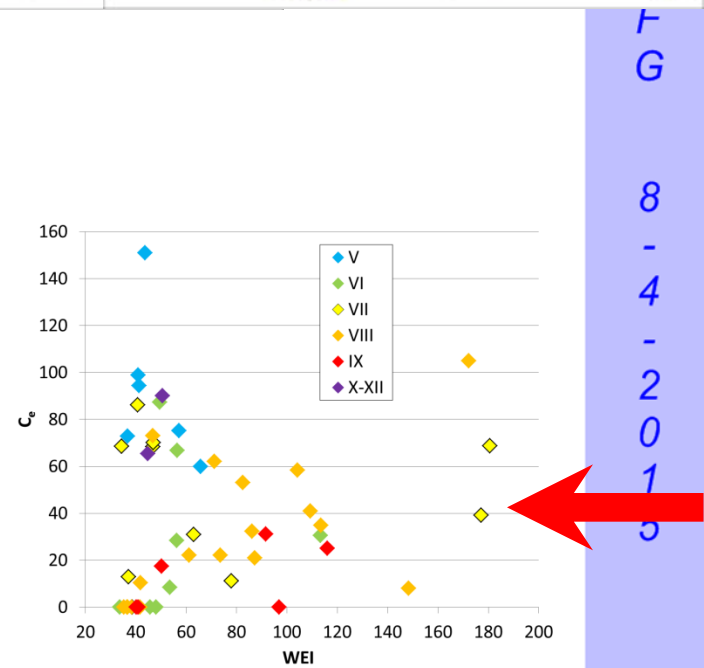
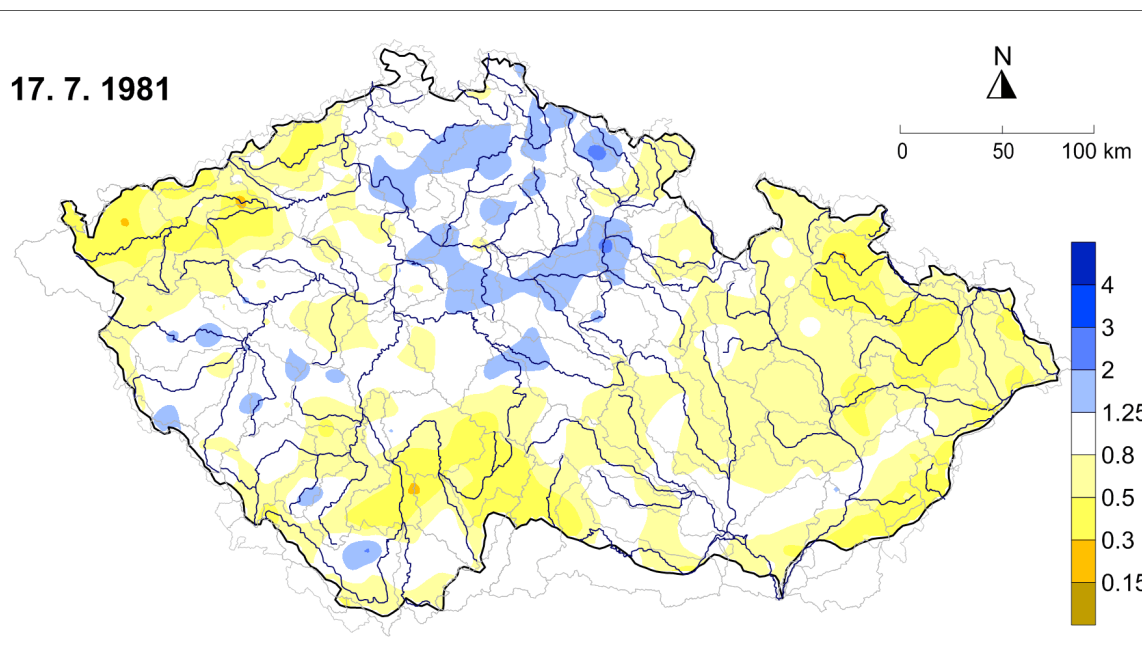
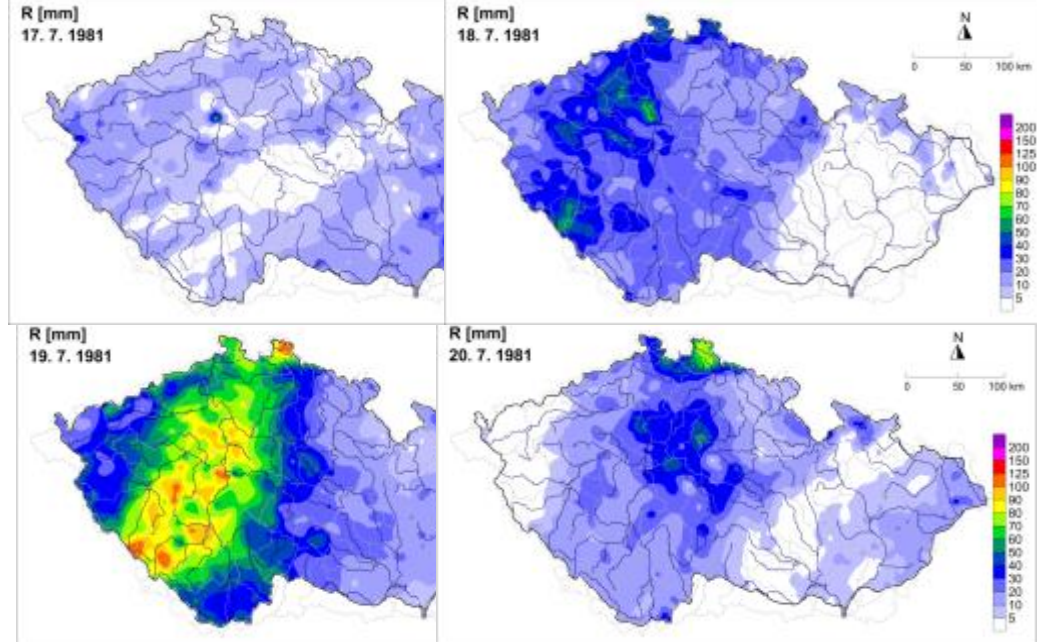
$$C_e = 100 \frac{FEI}{WEI}$$



Vliv předchozí nasycenosti

Köhler and Linsley (1951):
Antecedent Precipitation Index

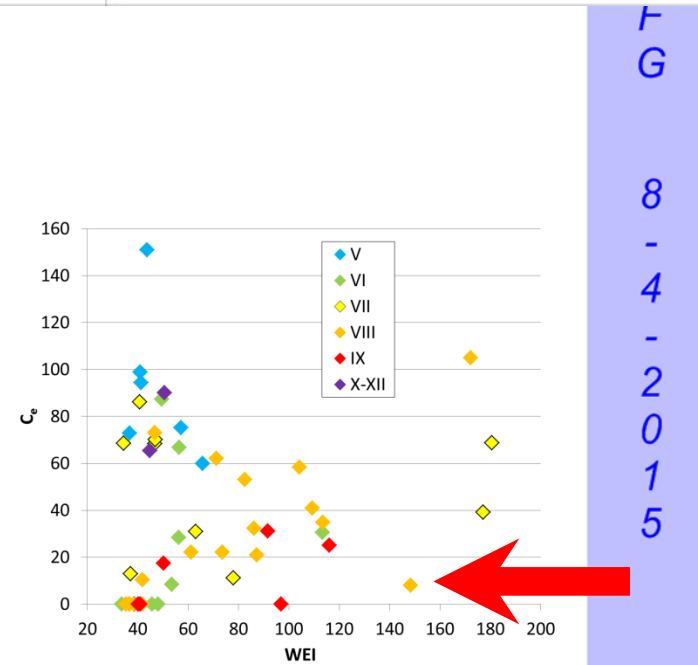
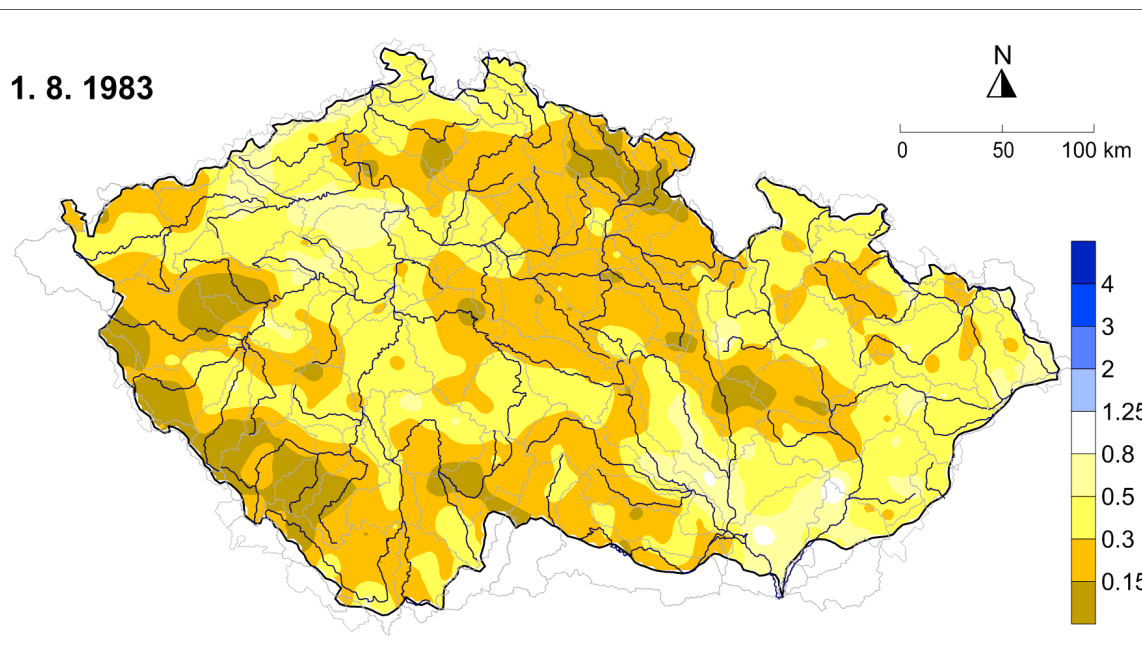
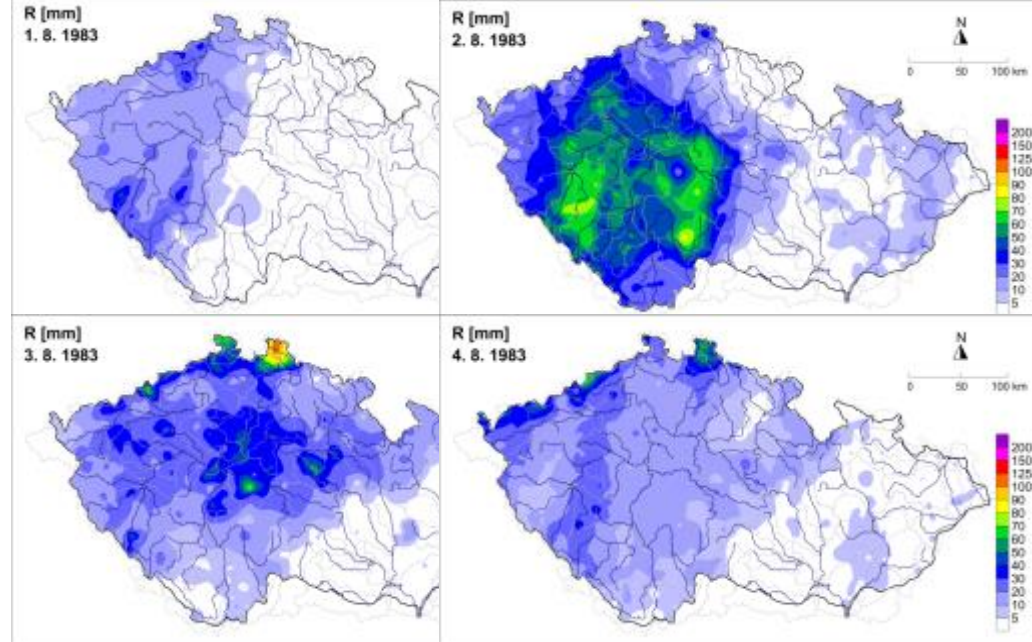
$$API_n = \sum_{i=1}^n P_i k^{n-i+1}$$



Vliv předchozí nasycenosti

Köhler and Linsley (1951):
Antecedent Precipitation Index

$$API_n = \sum_{i=1}^n P_i k^{n-i+1}$$

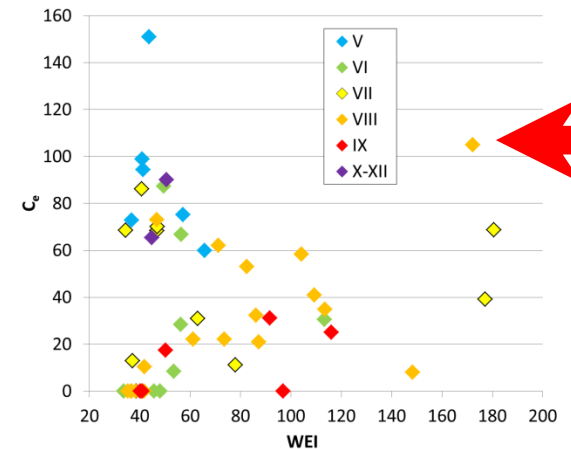
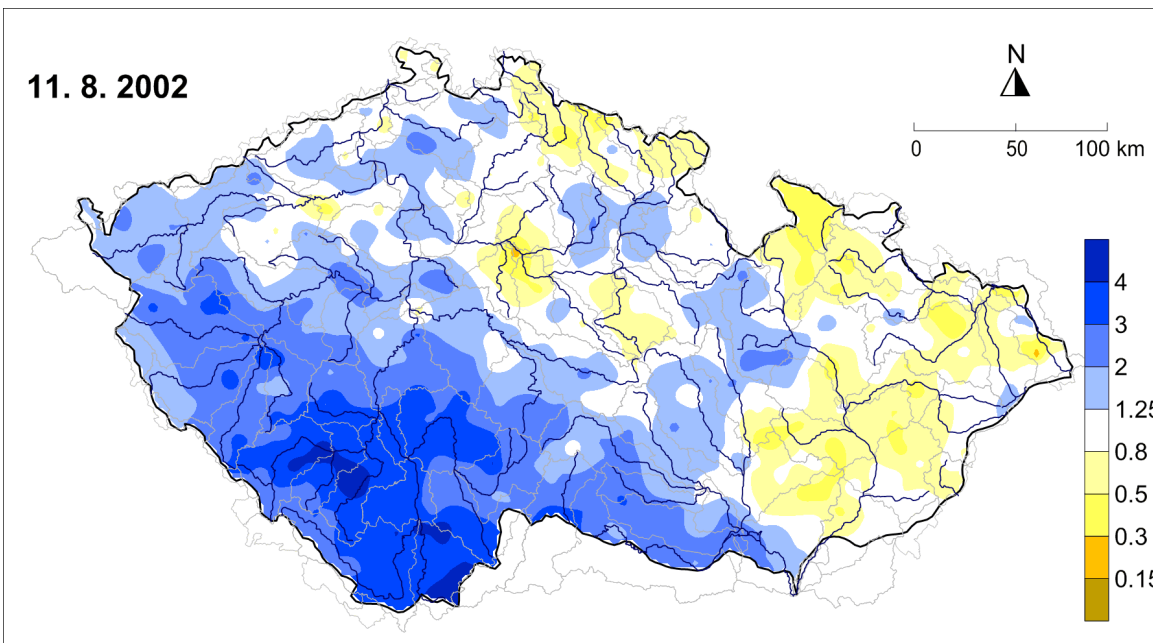
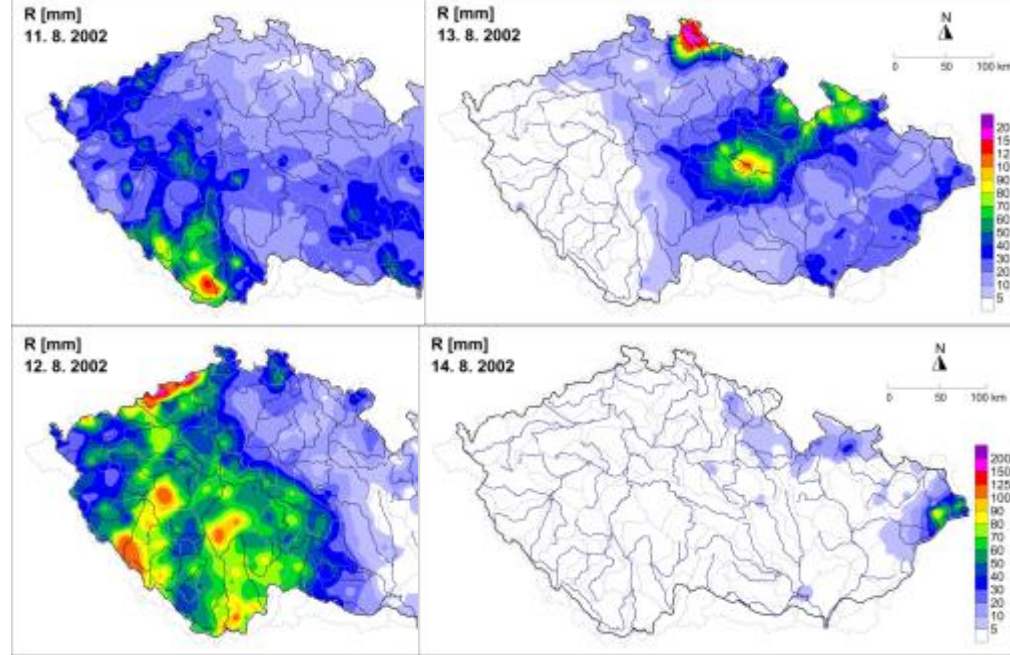


F
G
8
-
4
-
2
0
1
5

Vliv předchozí nasycenosti

Köhler and Linsley (1951):
Antecedent Precipitation Index

$$API_n = \sum_{i=1}^n P_i k^{n-i+1}$$



1
G
8
-
4
-
2
0
1
5

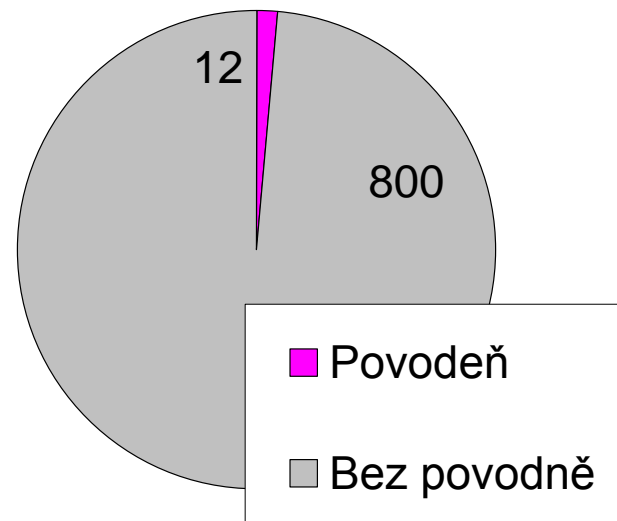


Extremita atmosférické cirkulace

Atmosférická cirkulace: Typy povětrnostních situací

Typ	ČHMÚ	Q_k [$m^3 \cdot s^{-1}$]	Datum
1.	NEc	2160	8. 7. 1997
2.	NEc	1050	9. 8. 1985
3.	C	936	22. 8. 1972
4.	C	890	26. 7. 1960
5.	B	818	12. 5. 1951
6.	C	765	4. 8. 1977
7.	Ec	718	26. 7. 1966
8.	B	697	8. 9. 1996
9.	B	687	19. 7. 1970
10.	NEc	608	3. 7. 1949

Odra v Bohumíně (1946 – 2000)
Dny D-1 při $Q > Q_2$ (MJJASO)

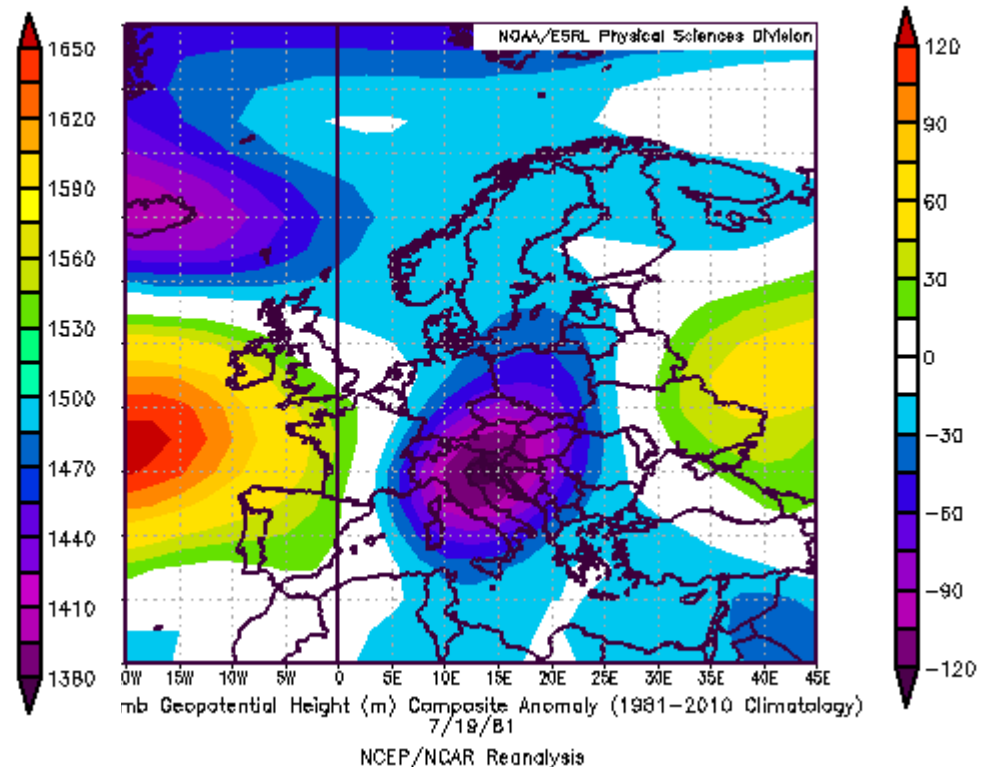
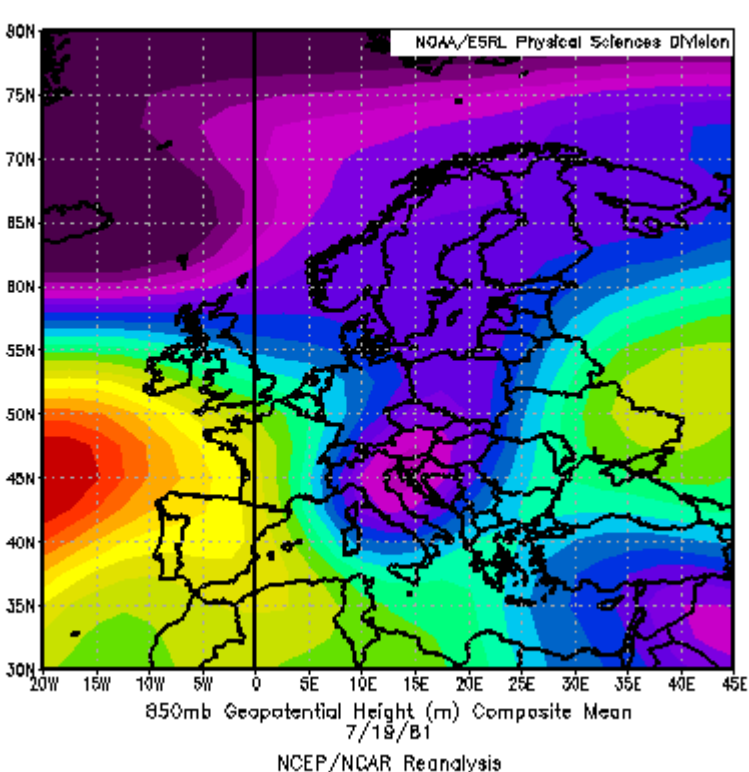


1946 – 1965, LHP,
Brádka (1967), Kakos (1974)

Brázdil a kol. (2005)

www.chmi.cz / historická data / počasí / typizace

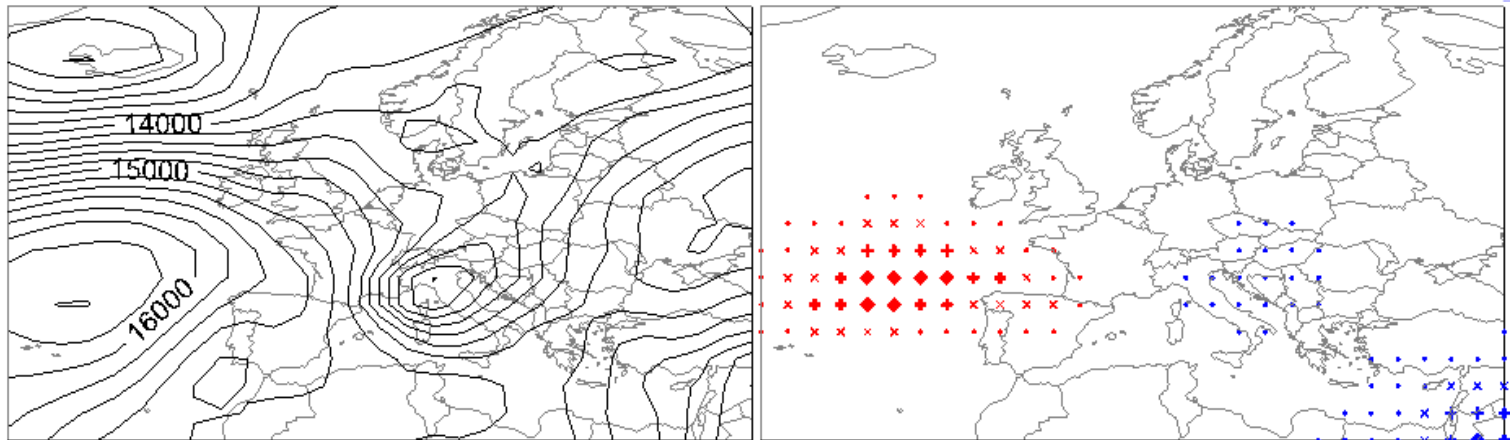
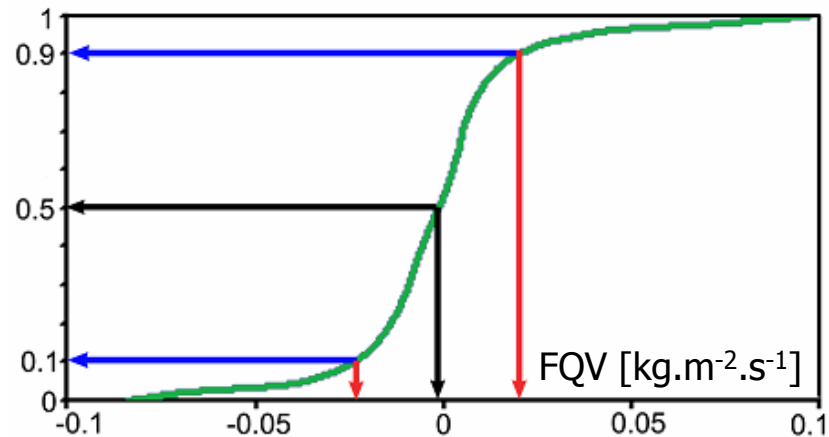
Extremita cirkulace: Absolutní odchylky od normálu



<http://www.esrl.noaa.gov/psd/cgi-bin/data/getpage.pl>

Extremita cirkulace: Kumulativní distribuční funkce

$$F(x_i) = \frac{i}{n+1}$$



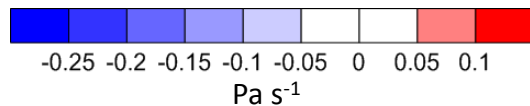
Absolute topography 850 hPa, 19/7/1981, 00UTC

F

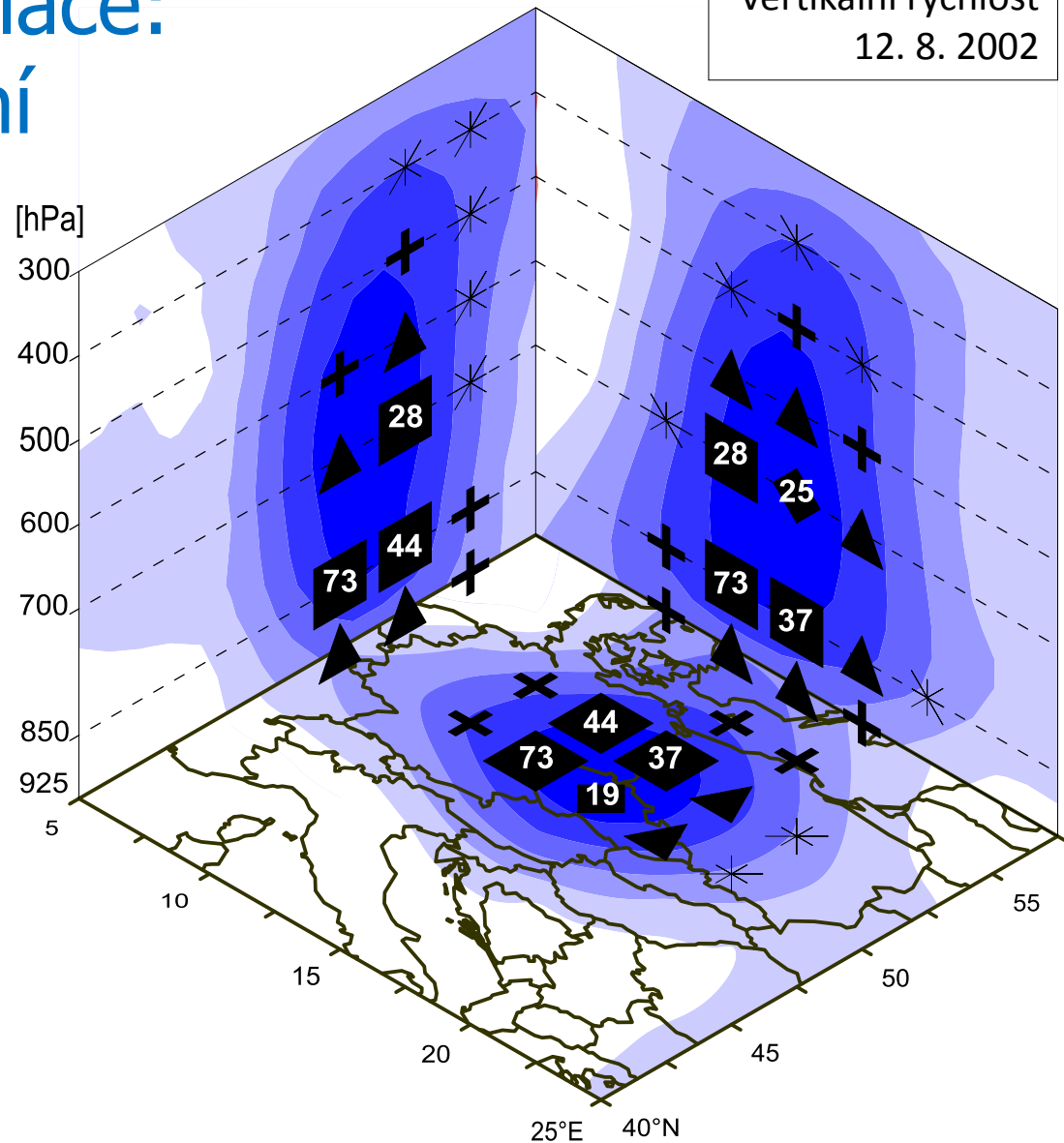
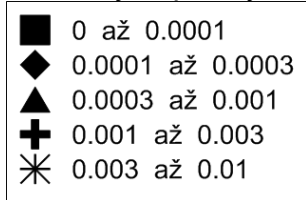
- 0 to 0.001
- ◆ 0.001 to 0.003
- + 0.003 to 0.01
- × 0.01 to 0.03
- 0.03 to 0.1
- 0.1 to 0.9
- 0.9 to 0.97
- × 0.97 to 0.99
- + 0.99 to 0.997
- ◆ 0.997 to 0.999
- 0.999 to 1

Extremita cirkulace: Doby opakování

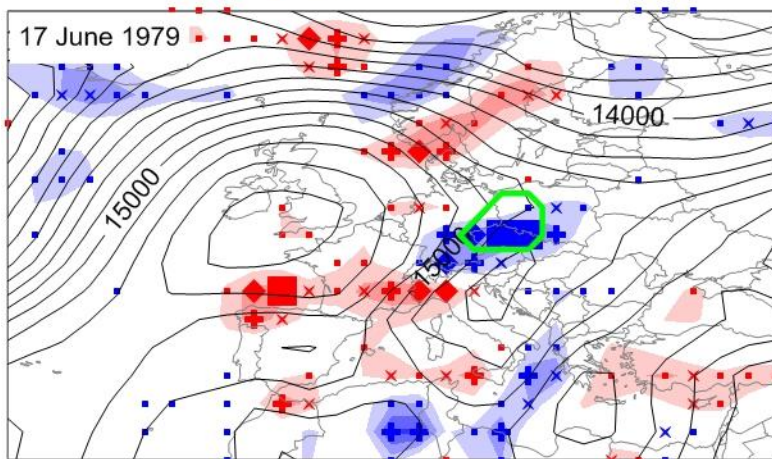
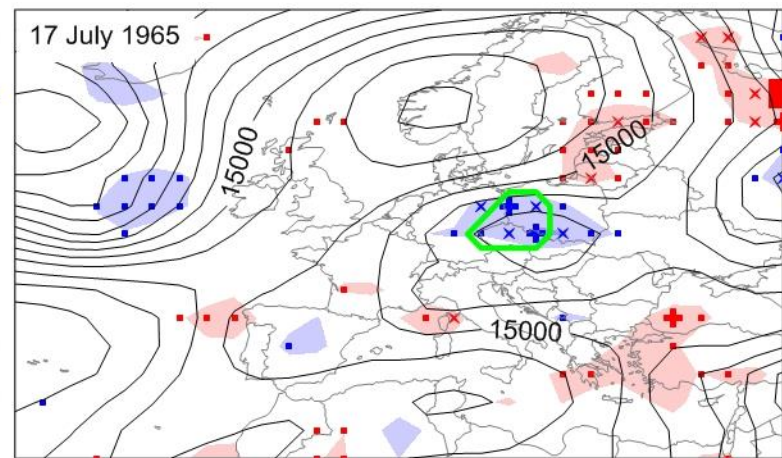
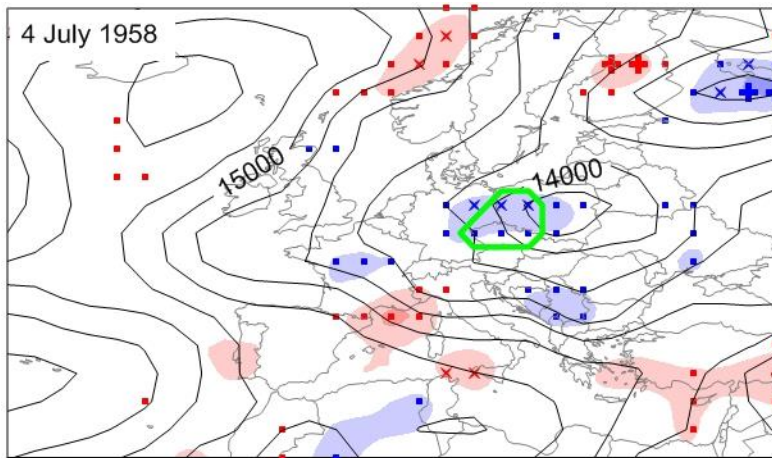
Vertikální rychlost
12. 8. 2002



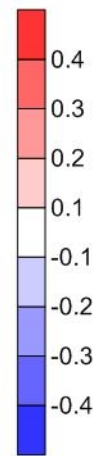
Pravděpodobnost překročení
velikosti výstupné rychlosti



Extremita cirkulace: Anomálie meteorologických veličin



W [Pa/s]



F(W)

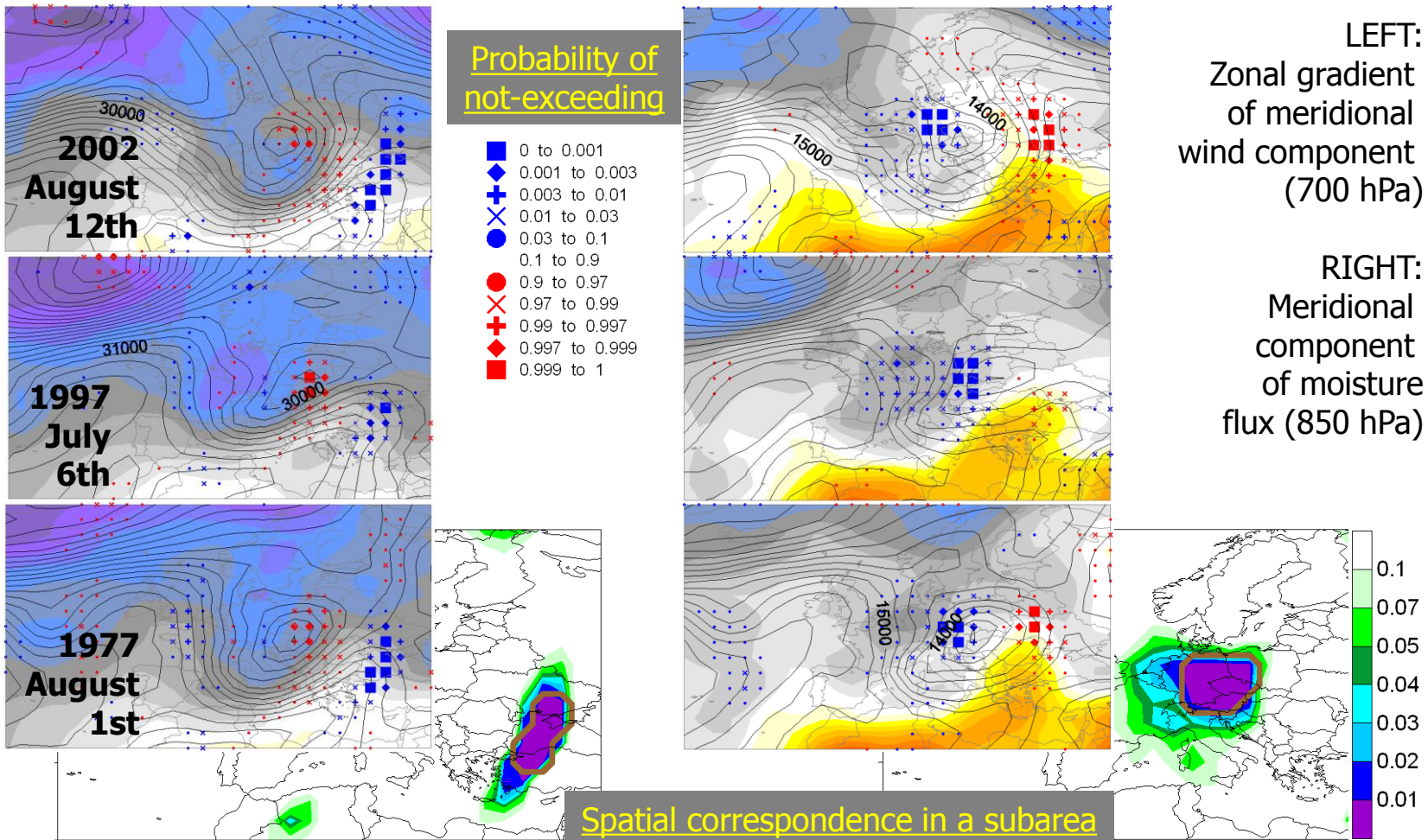
- 0 to 0.001
- ◆ 0.001 to 0.003
- + 0.003 to 0.01
- × 0.01 to 0.03
- 0.03 to 0.1
- 0.1 to 0.9
- 0.9 to 0.97
- × 0.97 to 0.99
- + 0.99 to 0.997
- ◆ 0.997 to 0.999
- 0.999 to 1

$$E_a = \sqrt[B]{\prod_{j=1}^B F_j}$$

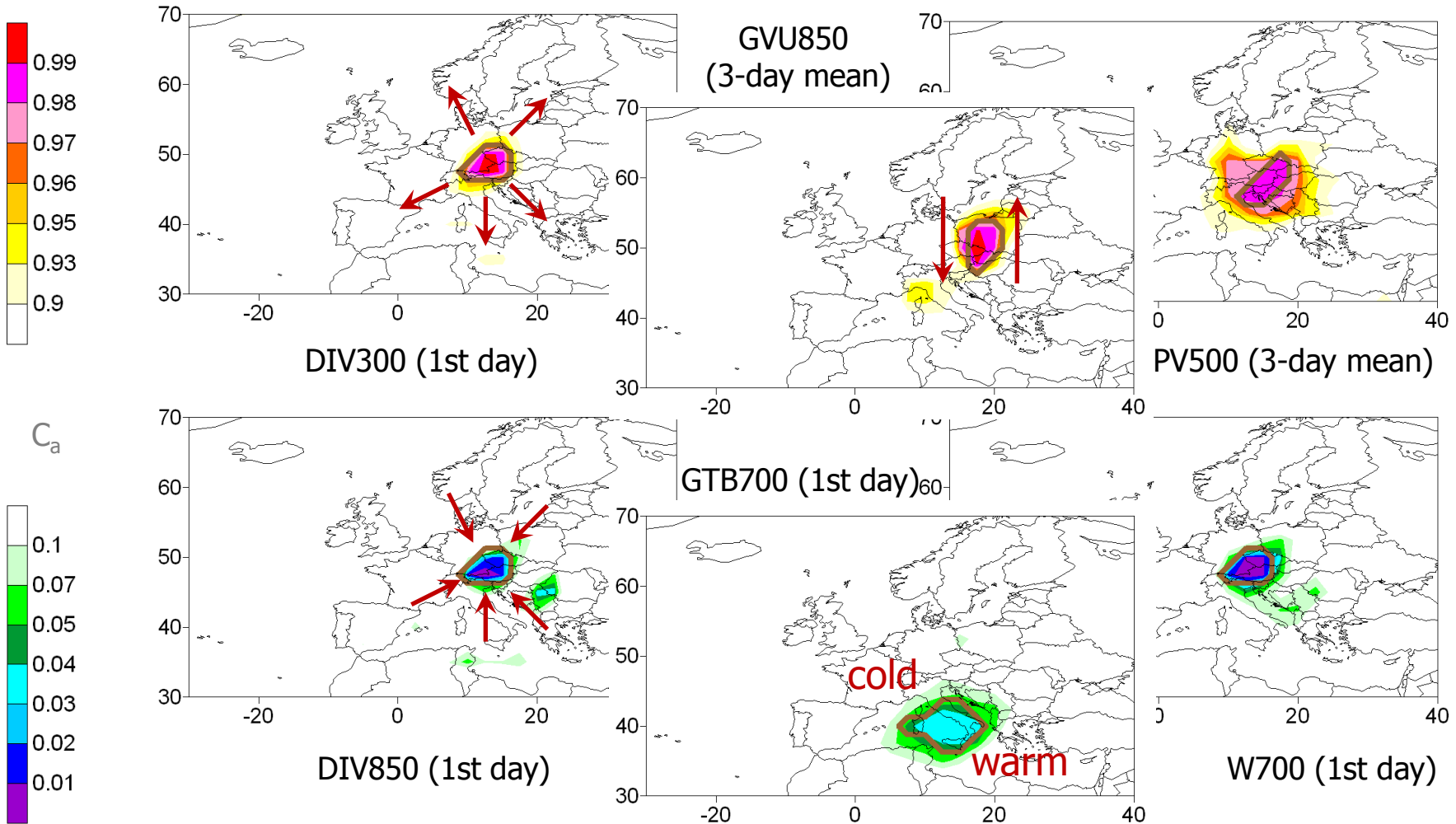


Vzájemný vztah srážek a cirkulace

Anomálie charakteristické pro silné srážky

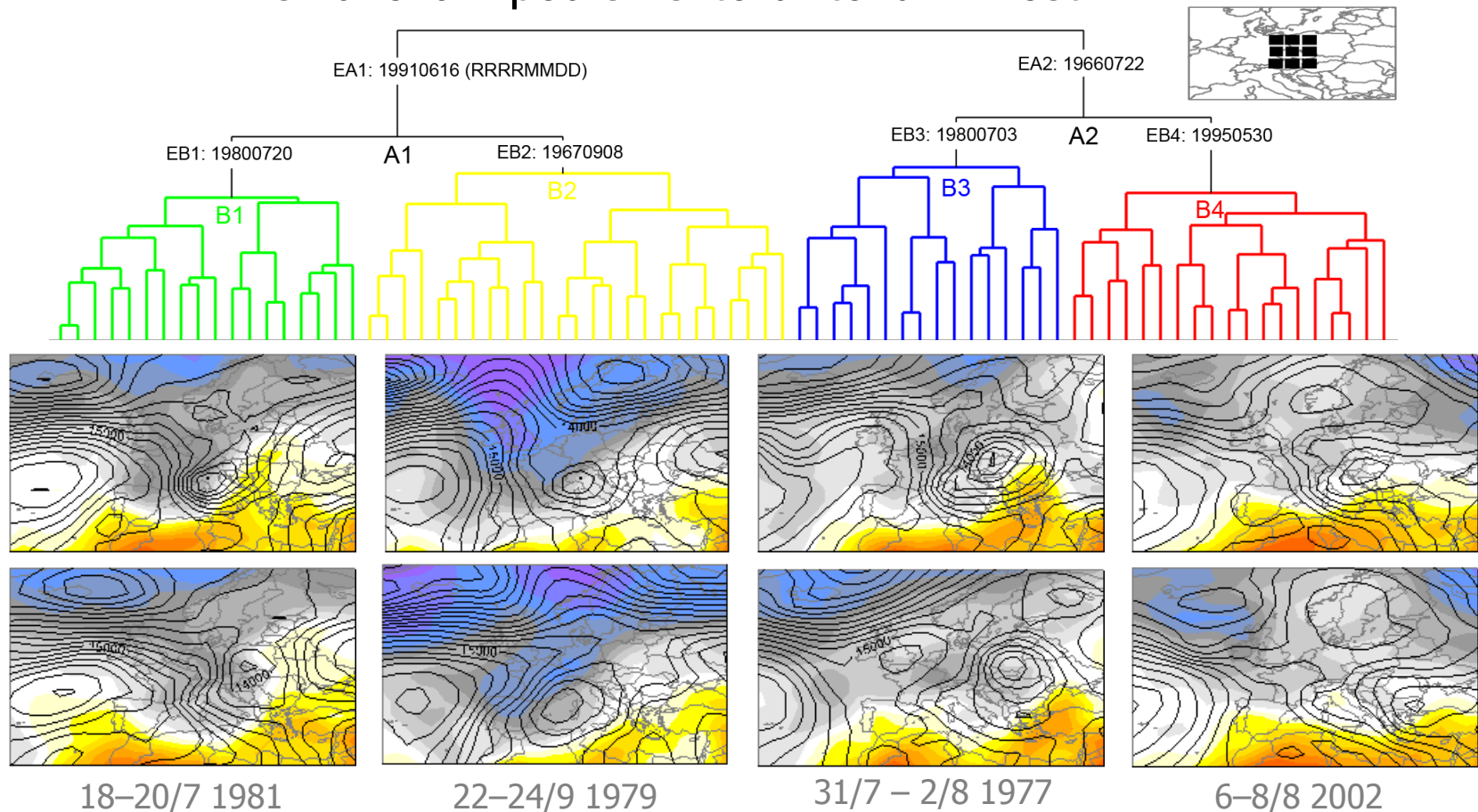


Anomálie charakteristické pro silné srážky



Cirkulační varianty srážkových událostí

- Divizivní shlukování podle vektorů toku vlhkosti

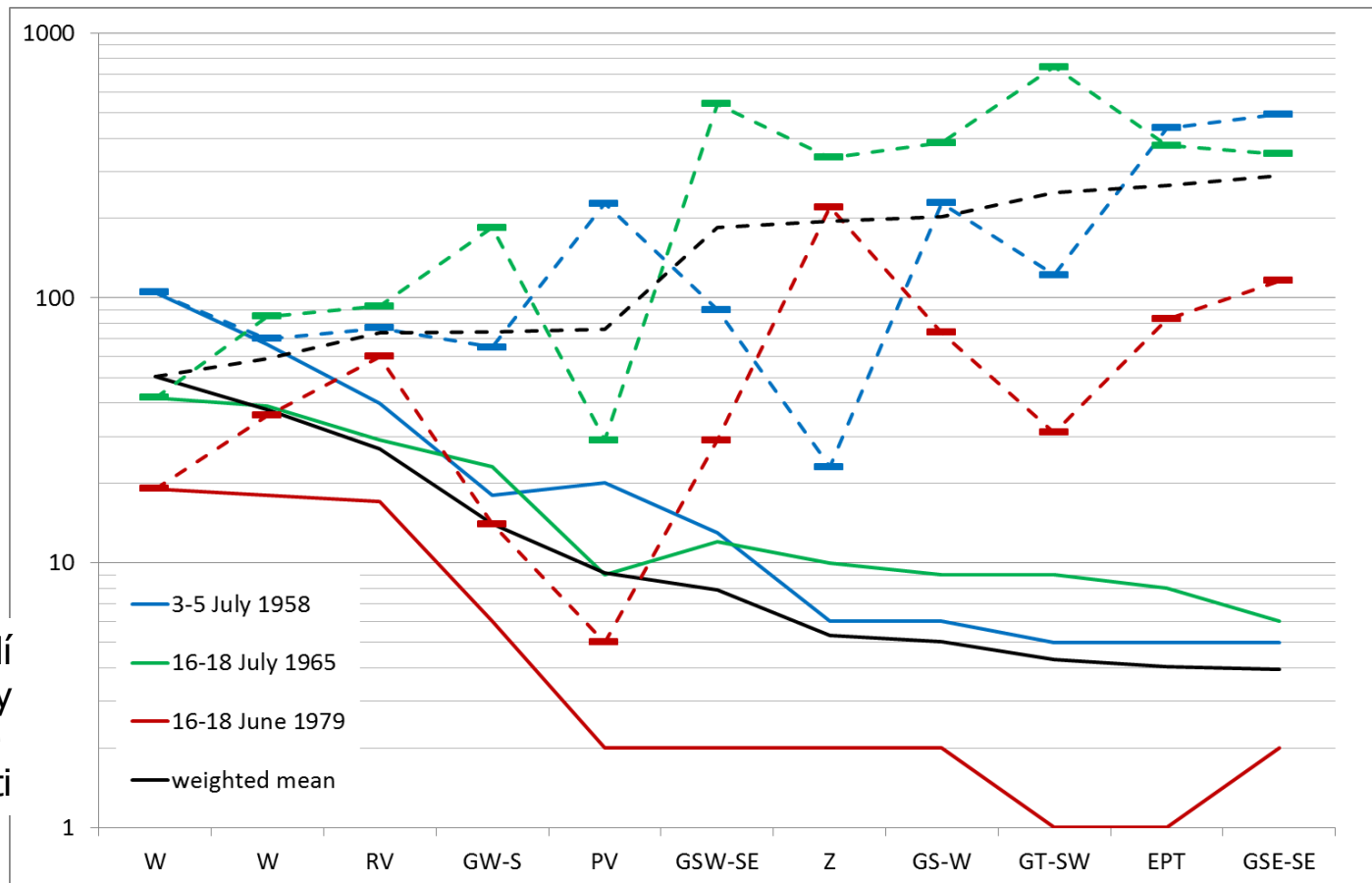


Extremita cirkulace při silných srážkách: Circulation Extremity Index

- Optimalizovaná kombinace většího počtu typických anomálií

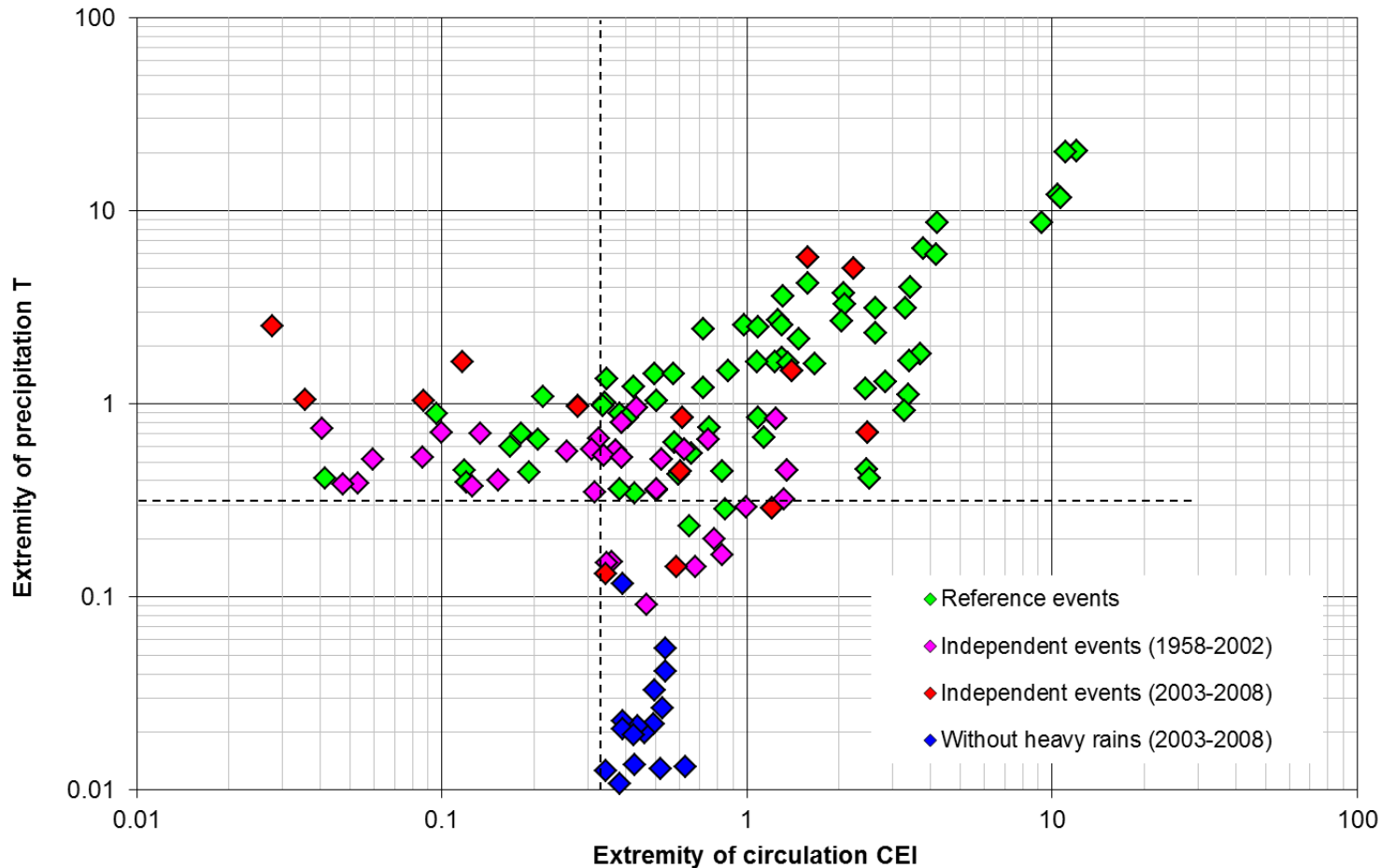
$$CEI = \frac{\sum_{k=1}^n E_k W_k}{\sum_{k=1}^n W_k}$$

pořadí
hodnoty
podle
velikosti



Podmíněnost srážek cirkulací

$$CEI' = \frac{1}{28} \sum_{i=1}^{28} \frac{45}{z_i}$$



Závěr

- Extremita cirkulace: anomálie charakteristické pro silné srážky, několik synoptických variant



- Extremita srážek: aspekty intenzity, plošného rozsahu, doby trvání atd.



- Extremita povodní: dána intenzitou příčinných srážek, vliv předchozí nasycenosti i roční doby

Literatura

- Herschy, R. W. (Ed.), 2003: World catalogue of maximum observed floods, IAHS-AISH Publ. 284, IAHS Press, Wallingford.
- **Kašpar, M., Müller, M., 2010: Variants of synoptic patterns inducing heavy rains in the Czech Republic. Phys. Chem. Earth, 35, 477–483.**
- **Kašpar, M., Müller, M., Pecho, J., 2013: Comparison of meteorological conditions during May and August 2010 floods in Central Europe. AUC Geographica, 48, 27–34.**
- **Kašpar, M., Müller, M., 2014: Combinations of large-scale circulation anomalies conducive to precipitation extremes in the Czech Republic. Atmos. Res., 138, 205-212.**
- Köhler, M. A. and Linsley, R. K., 1941: Predicting the runoff from storm rainfall. U.S. Weather Bureau Research Paper no. 34., Washington, 9 pp.
- **Müller, M. and Kašpar, M., 2014: Event-adjusted evaluation of weather and climate extremes, Nat. Hazards Earth Syst. Sci., 473–483.**
- **Müller, M., Kašpar, M., Valeriánová, A., Crhová, L., Holtanová, E., 2015: Evaluation of precipitation extremes and floods and comparison between their temporal distributions. Hydrol. Earth Syst. Sci. Discuss., 12, 281-310.**
- Ramos, M.H., Creutin, J.D., Leblois, E. 2005: Visualization of storm severity. Journal of Hydrology, 315, 295–307.
- Uhlemann, S., Thielen, A. H., and Merz, B., 2010: A consistent set of trans-basin floods in Germany between 1952–2002, Hydrol. Earth Syst. Sci., 14, 1277–1295.



Děkuji za pozornost

Müller, M.: Vztah mezi extremitou cirkulace, srážek a povodní